

سنگنگاری، شیمی الیوین، زمین‌شیمی و خاستگاه بازالت‌های منطقه پدران (جنوب شرق بیرجند)

سیدسعید محمدی^{*}^۱، ملیحه نخعی^۳

۱- گروه زمین‌شناسی، دانشکده علوم، دانشگاه بیرجند، بیرجند، ایران

۲- گروه پژوهشی علوم زمین، دانشگاه بیرجند، بیرجند، ایران

۳- گروه مهندسی معدن، دانشکده عمران، معدن و شیمی، دانشگاه صنعتی بیرجند، بیرجند، ایران

(دریافت مقاله: ۱۴۰۲/۱/۱۹، نسخه نهایی: ۱۴۰۲/۳/۲۸)

چکیده: در کرانه جنوب شرقی روستای پدران در ۴۰ کیلومتری جنوب شرق بیرجند، توده‌های بازالتی دربردارنده درشت بلورهای الیوین و زمینه ریزدانه شامل پیروکسن، پلازیوکلاز و کانی کدر رخنمون دارد. بر اساس نتایج تجزیه ریزپردازشی پرتوی ایکس، کانی الیوین دارای ترکیب $\text{Mn}_{75-87}\text{Fe}_{13-26}\text{Fa}_{0-8}$ و از نوع کریزوولیت است. نسبت‌های Mn/Fe و Ni/Mg در کانی الیوین بیانگر خاستگاه پریدوتیتی برای مذاب سازنده بازالت هستند. این سنگ‌ها بر پایه ویژگی‌های زمین‌شیمیایی عناصر اصلی، ماهیت قلیایی (نژدیک به نیمه قلیایی) دارند. عناصر با شدت میدان بالا (HFSE)، چون Ti، Zr، P، Nb و P_2O_5 ، بی‌هنجری منفی نشان می‌دهند که بیانگر تشکیل آن‌ها در مناطق فرورانش است. ماقمای سازنده بازالت‌های پدران از منطقه تحولی بین فازهای اسپینل و گارنت لرزولیت در عمق حدود ۷۰ کیلومتر شکل گرفته است. نمودارهای تعیین محیط زمین‌ساختی برپایه عناصر نادر نشان می‌دهند که نمونه‌ها در قلمرو بازالت‌های آهکی‌قلیایی قرار دارند و وابسته به کمان قاره‌ای هستند.

واژه‌های کلیدی: بازالت؛ کریزوولیت؛ خاستگاه پریدوتیتی؛ کمان قاره؛ پدران؛ لوت.

فوران سامانه‌های ماقمایی مختلف را اثبات می‌نماید [۹].

داده‌های موجود درباره زمین‌شناسی گستره شرقی ایران بیانگر این است که از زمان ترشیری تا اوایل کواترنری، مراحل آتشفسانی متعددی در این منطقه رخ داده است. فعالیت ماقمایی در پهنه لوت از کرتاسه پسین، یعنی بیش از ۷۷ میلیون سال پیش، آغاز شده و حدود ۶۰ میلیون سال ادامه داشته است [۱۰]. در بررسی‌های سنگ‌شناسی آتشفسانی شرق ایران، تغییرات و تنوع ترکیب شیمیایی بسیار گسترده‌ای به چشم می‌خورد، بطوری که گستره تغییرات ترکیبی سنگ‌های موجود آمده از بازالت تا ریولیت متغیر است [۱۱، ۱۰].

بررسی سنگزایی و جایگاه زمین‌ساختی سنگ‌های آتشفسانی ترشیری در شرق ایران از دیدگاه رویدادهای زمین‌شناسی مهم است. سنگ‌های آتشفسانی ترشیری در گستره بیرجند-سرپیشه-نهبتدان به فراوانی و با گسترش بسیار دیده

مقدمه

بررسی بازالت‌ها به عنوان سنگ‌هایی که ماقمای سازنده آن‌ها از ذوب گوشته بوجود می‌آید، اطلاعات ارزشمندی درباره ساختار داخلی، منبع ماقمای ای شکل گرفته از گوشته، دگرنهادی گوشته‌ای، مواد پوسته‌ای و فرایندهای ماقمایی هر منطقه ارائه می‌نماید [۱۵-۱۶]. این امر برای بازالت‌های اولیه که ترکیب آن‌ها در تعادل با پریدوتیت گوشته‌ای است، اهمیت ویژه‌ای دارد. الیوین کانی فراوان در گوشته بالایی و درشت‌بلور رایج در بازالت است [۶] که می‌تواند اطلاعات مهمی درباره ترکیب مذاب اولیه پیش از تغییرات بعدی هضم پوسته ای و یا تبلور بخشی ثبت نماید [۸، ۷]. به بیان دیگر، بلورهای الیوین ثبت کننده‌های ارزشمندی از فرایندهای سنگزایی عمیق و ماقمایی درگیر هستند و بافت‌های آشکار آن‌ها، منطقه‌بندی و نتایج تجزیه شیمیایی این کانی با نگاه ویژه‌ای تکامل پیش از

*نویسنده مسئول، تلفن: ۰۵۶۳۱۰۲۶۶۸۸، نمبر: ۰۵۶۳۲۲۰۲۰۴۱، پست الکترونیکی: ssmohammadi@birjand.ac.ir

ماهیت خاستگاه و جایگاه زمین‌ساختی سنگ‌های بازالتی منطقه پدران شناسایی گردید.

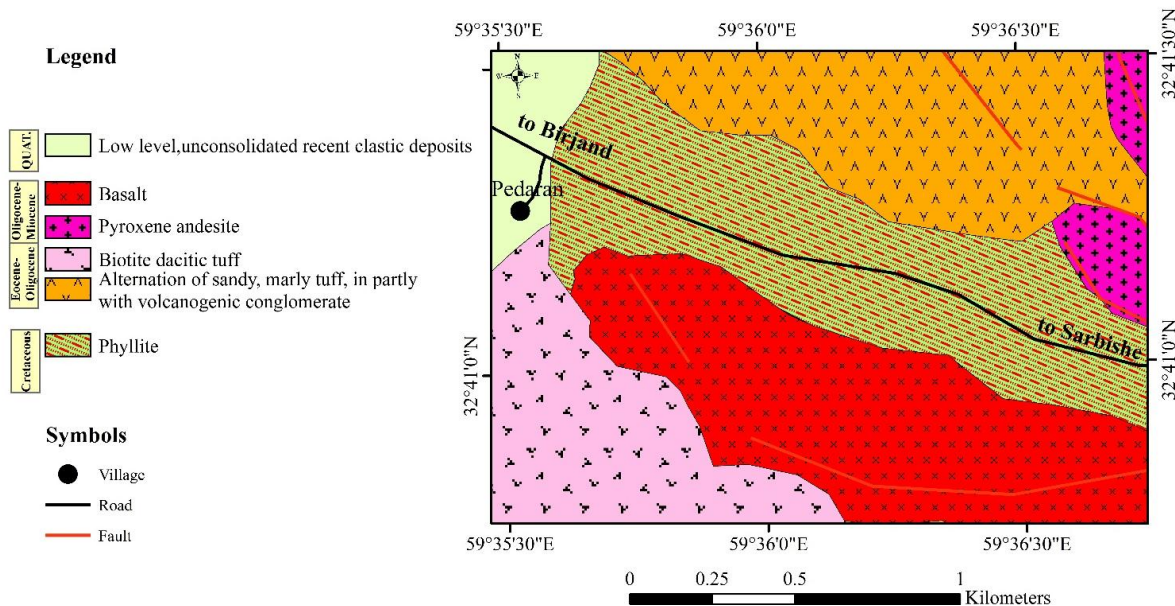
زمین‌شناسی منطقه

منطقه مورد بررسی با موقعیت جغرافیایی "۳۰° ۵۹' ۵۹" ۴۵' ۳۶' طول شرقی و "۴۰° ۴۵' ۳۲' ۳۰" عرض شمالی در بخش غربی نقشه زمین‌شناسی ۱:۱۰۰۰۰ سربیشه [۱۷] و بخش شرقی نقشه زمین‌شناسی ۱:۲۵۰۰۰ بیرجند [۱۸] قرار دارد. قدیمی‌ترین واحد سنگی در این منطقه، سنگ‌های پلیتی دگرگون‌شده شامل فیلیت‌های کرم رنگ در بخش‌های شمالی توده بازالتی (شکل‌های ۱ و ۲ الف) و همچنین، فیلیت‌های سبز رنگ دارای نشانه‌های دگرگشکلی (چین خوردگی) از کرتاسه پسین [۱۸] در بخش‌های جنوبی پیرامون روستاهای کلاته فتح الله و کلاته داود (خارج از گستره شکل ۱) هستند. در ائوسن پسین بر اثر پسروی حوضه‌های روسوی و بسته‌شدن حوضه‌های کششی کرتاسه - پالئوسن و رخداد فروزانش، فعالیت آتشفسانی در منطقه آغاز شده است. همچنین در پایان ائوسن میانی و طی ائوسن پایانی، در پی تکاپوهای زمین‌ساختی، همزمان با پسروی دریای پالئوزن، رخساره‌های دریایی ائوسن میانی - پایانی به رخساره‌های قاره‌ای اغلب قرمز رنگ ائوسن پسین - الیگوسن تبدیل شده‌اند [۱۷]. پس از آتشفسانی‌های ائوسن میانی و پایانی که بیشتر ترکیب آندزیتی دارند، در ائوسن پایانی - الیگوسن، تکاپوهای آتشفسانی با ترکیب آندزیت - داسیت (شکل ۱) همراه رخساره‌هایی متنابض از توف، برش و آگلومرا رخمنون یافته‌اند. در ترانشه جاده بیرجند-سربیشه در شرق روستای پدران، تنابوی از توف‌های ماسه‌ای زردرنگ و به شدت برش خورده که در برخی نقاط به ریزکنگلومرا تبدیل می‌شود، نمایان است. این واحد سنگی در تنابو با کنگلومرای آتشفسانزاد و توف برشی است (شکل ۱) که در افق‌های بالاتر به توف‌های داسیتی سفیدرنگ (شکل‌های ۱ و ۲ ب) تبدیل می‌گردد. بالاترین بخش این مجموعه آذرآواری توف سنگی است که در زیر گدازه‌های آندزیتی-بازالتی (شکل ۲ ب) جای دارد. با ادامه نظام زمین-ساختی فشاری و ضخیم‌شدگی پوسته، گدازه‌های بازالتی با روند کلی شمال غربی-جنوب شرقی (شکل ۱) در منطقه مورد بررسی و همچنین در نزدیکی شهر مود (۵ کیلومتری غرب روستای پدران) تشکیل شده‌اند. سن‌سنجدی انجام شده به روش پتاسمیم-آرگن بر بازالت‌های مود (شبیه منطقه پدران) سن

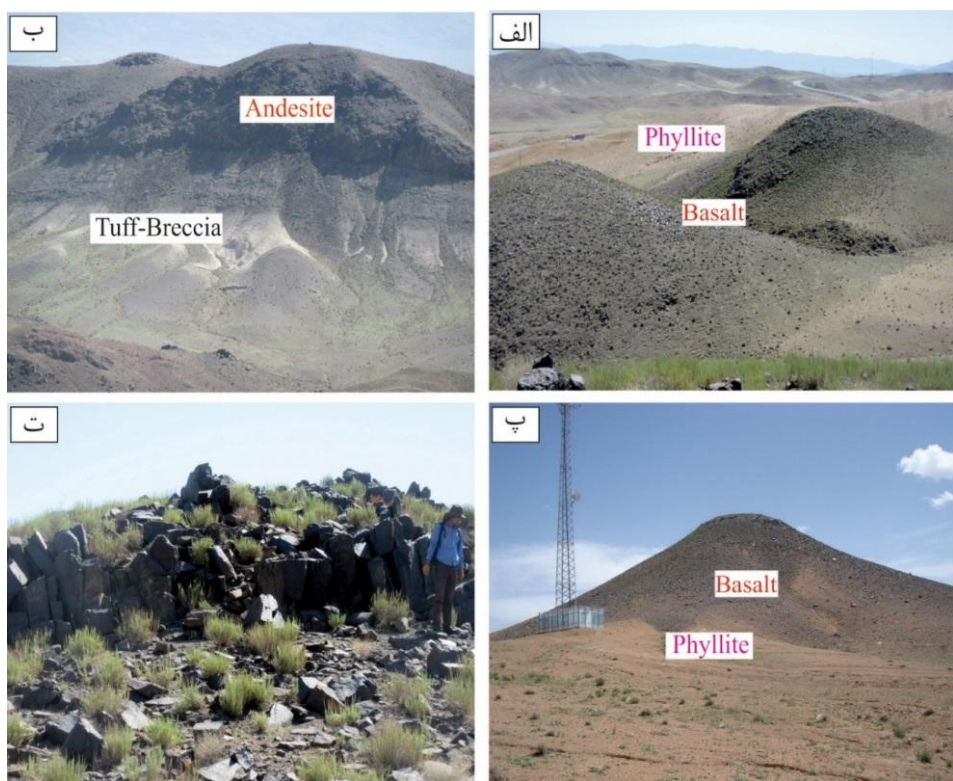
می‌شوند که بخش‌هایی از آن‌ها تاکنون توسط پژوهشگران مختلف بررسی شده‌اند. سنگ‌های آتشفسانی بازالتی به عنوان یکی از فراورده‌های آتشفسانی در شرق ایران، در مناطق مختلفی در استان خراسان جنوبی از جمله فردوس، طبس، بیرجند، سربیشه و نهبندان رخمنون دارند که از دیدگاه ساختاری در بخش‌های شمالی و شرقی پهنه لوت واقع هستند. قطعه لوت پهنه سخت و محکم است که طی رخدادهای کوه‌زایی کیمربن یا آلپین پیشین تکامل یافته است. این قطعه با درازای حدود ۹۰۰ کیلومتر در راستای شمال-جنوب و پهنهای چین خوردگی‌های شدید و رشته کوه‌های رانده شده دربرگرفته شده است، بطوری که گسل نایبند و رشته کوه‌های گسل‌های عمیق و غرب و رشته کوه‌های شرق ایران از سمت شرقی آن را دربردارند. لبه غربی قطعه لوت با گسل‌های عادی به نسبت کم شبی بریده شده، در حالی که لبه شرقی آن با فلیش‌ها و کمربند آمیزه افیولیتی مشخص می‌گردد [۱۰]. یکی از مناطقی که سنگ‌های بازالتی در گستره بین شهرهای بیرجند و سربیشه رخمنون دارد، پیرامون روستای پدران در ۴۰ کیلومتری جنوب شرق بیرجند (۵ کیلومتری شرق مود) است. در این منطقه، یک توالی ضخیم بازالتی روی رسوب‌های کنگلومرایی و نهشتلهای شیلی- ماسه سنگی دگرگون شده پالئوسن رخمنون دارد. تاکنون پژوهش‌های مختلف پیرامون سنگ‌های آتشفسانی مناطق اطراف پدران انجام شده است که از آن جمله می‌توان به بررسی سنگ‌زایی سنگ‌های بازالتی دوران چهارم منطقه شرق ایران (خراسان) [۱۲] ، بررسی سنگ‌شناسی و زمین‌ساختی ماجمایی بازالت‌های سنوزوئیک شرق ایران (خراسان) [۱۳]، بررسی فعالیت آتشفسانی نئوژن-کواترنری شرق ایران (منطقه بیرجند-مود-سربیشه) [۱۴]، بررسی سنگ‌شناسی و زمین‌شیمی سنگ‌های آتشفسانی منطقه فنود (جنوب شرق بیرجند) [۱۵]، بررسی زمین‌شناسی، دگرسانی و سنگ‌شناسی سنگ‌های آذرین شرق مود (جنوب شرق بیرجند) [۱۶] اشاره نمود. از آنجا که این سنگ‌های بازالتی اهمیت ویژه‌ای در مجموعه آتشفسانی منطقه بیرجند-سربیشه دارند و تاکنون به صورت متمرکز بررسی نشده‌اند، در این پژوهش، بر اساس نتایج بدست آمده از بررسی‌های صحرایی، سنگ‌نگاری، شیمی الیوین و زمین‌شیمی سنگ کل،

دارای ساختار کلی توده‌ای است (شکل ۲ پ)، اما در بخش‌های سطحی، ساخت ستونی ناقص دیده می‌شود (شکل ۲ ت).

۳۱/۴ میلیون سال (الیگوسن) را نشان داده است [۱۰]. بازالت مورد بررسی به رنگ سبز تیره مایل به سیاه و بافت نهان دانه



شکل ۱ نقشه زمین‌شناسی منطقه پدران بر اساس نقشه ۱/۱۰۰۰۰۰ سربیشه [۱۷] با اصلاحات.



شکل ۲ تصاویر صحراوی از واحدهای سنگی منطقه پدران: (الف) فیلیت کرم رنگ در زیر بازالت در گستره شرقی توده بازالتی (دید به شرق)، (ب) گدازه آندزیتی بر توف-برش (دید به شمال شرق)، (پ) ساختار توده ای بازالت (دید به جنوب شرق)، (ت) ساختار ستونی در بخش سطحی توده بازالتی (دید به شمال شرق).

می‌دهند. همچنین، لبه‌های خلیجی پیرامون برخی بلورهای الیوین وجود دارد (شکل ۳ ت). حضور بلورهای خلیجی ناشی از واکنش مذاب و بلور طی فرایند تبلور است، به طوری که تغییر شرایط انجماد مانگما سبب می‌شود تا حالت بلور از پایدار به ناپایدار تبدیل گردد. پیروکسن اغلب به صورت بلورهای منشوری ریز نیمه‌شکل دار تا بی‌شکل به رنگ‌های زرد و نارنجی در زمینه سنگ و در فضای بین پلاژیوکلازهای ریز وجود دارد (شکل ۳ الف). این کانی به ندرت به صورت درشت بلورهای منشوری کوتاه دیده می‌شود. بررسی مشخصه‌های نوری، پیروکسن‌ها با میز فدروف نشان داده است که در ترکیب آن‌ها، مقدار کمی Fe وجود دارد و بیشتر از نوع دیوپسید هستند [۱۳]. در آغاز تبلور بازالت‌ها، کلینوپیروکسن از نوع دیوپسید تشکیل می‌شود، اما با ادامه تبلور مقدار کلسیم در مایع سیلیکاتی کم شده و ترکیب آن‌ها به اوژیت مایل می‌گردد [۱۹]. بطور کلی، دگرسانی در پیروکسن‌ها اثر چندانی نداشته است و به صورت جزئی، آثاری از کلریتی شدن در کناره برخی بلورها دیده می‌شود. بخش اصلی زمینه سنگ اغلب از تیغه‌های پلاژیوکلاز تشکیل شده است. زاویه خاموشی اندازه گیری شده در پلاژیوکلازها حدود ۳۵ درجه است و بر این اساس از نوع لاپرادوریت هستند. در برخی نمونه‌ها، ریزنگرهای پلاژیوکلاز حالت جریانی ضعیفی نشان می‌دهند (شکل ۲ ت) که سبب ایجاد بافت تراکیتوئیدی شده است. حجم زمینه سنگ نسبت به درشت بلورها حدود ۷۵ تا ۸۰ درصد است. کانی کدر به صورت بلورهای ریز به مقدار قابل توجه (تا حدود ۵ درصد) در زمینه سنگ وجود دارد (شکل ۳). وجود مگنتیت در این سنگ‌ها و در بر گرفته‌شدن آن با کانی‌های الیوین و پیروکسن بیانگر تبلور زود هنگام این کانی در یک مانگما بدون آب است، زیرا در مانگماهای بدون آب، مگنتیت هم‌زمان با الیوین متبلور می‌شود، درحالی که در فشار بخار آب و فشاربخشی اکسیژن کم، مگنتیت در مراحل پایانی جدایش بلورین و پس از پلاژیوکلاز بلوری می‌گردد [۲۰]. بازالت‌های دارای الیوین نسبت به آن‌های بدون الیوین، مگنتیت بیشتری دارند، زیرا اکسایش الیوین طی سرد شدن بازالت‌ها منجر به تفکیک مگنتیت به صورت فاز مجزا می‌شود [۲۱].

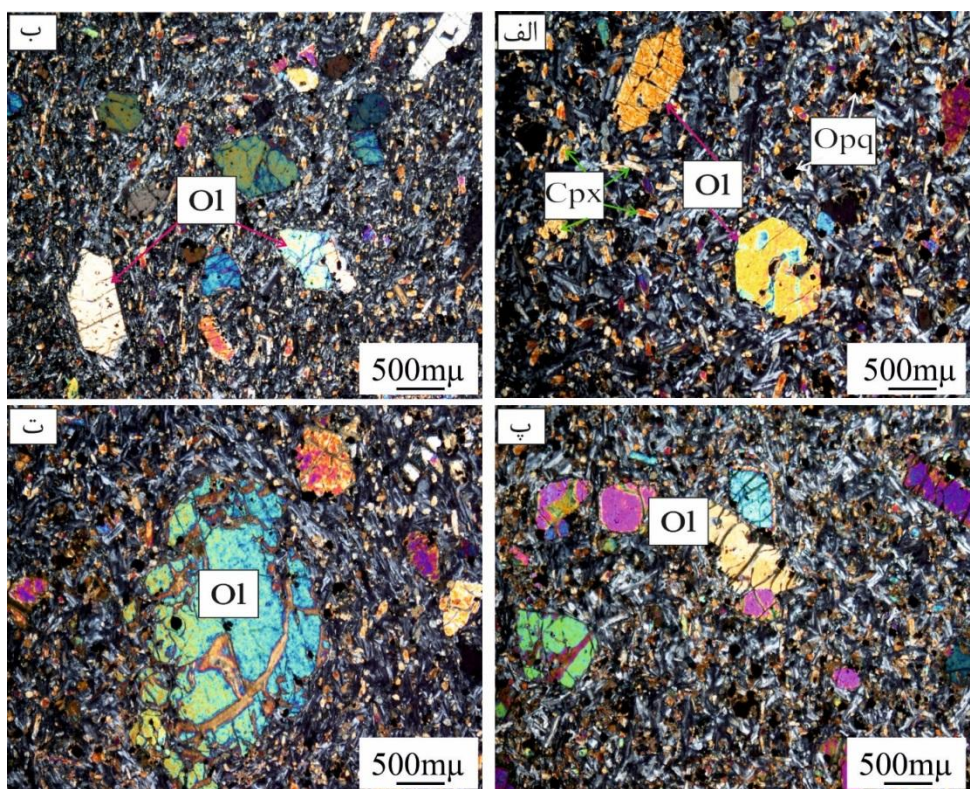
روش انجام پژوهش

پس از جمع‌آوری اطلاعات موجود درباره فعالیت مانگماتی گستره بیرجند-سرپیشه، برداشت‌های صحرایی و نمونه‌برداری از واحدهای منطقه مورد بررسی انجام شد. از بین نمونه‌های برداشت شده، ۳۰ مقطع نازک تهیه و بررسی سنگنگاری شد. برای بررسی ترکیب شیمیایی کانی الیوین، ۱۶ نقطه با دستگاه ریزپردازشگر پرتوی ایکس مدل (XPMA) XGT-7200 با پسوند ۱۰۰ میکرون در مدت زمان ۱۰۰ ثانیه، ولتاژ ۵۰ kV و جریان ۱۰۰۰ mA در آزمایشگاه شرکت دانش بنیان کانساران بینالود تجزیه شدند. با دوربین عکسبرداری با قدرت وضوح بالا، عکس‌هایی از موقعیت هر نقطه تجزیه تهیه شد. افزون بر این، نیمرخ همه عناصر برای هر نقطه رسم گردید. برای بررسی‌های زمین‌شیمیایی، تعداد ۱۰ نمونه مناسب در آزمایشگاه شرکت زرآزما به روش‌های ذوب قلیایی برای عناصر اصلی (کد AF-01) و طیفسنجی جرمی پلاسمای جفت شده القایی (ICP-MS) برای عناصر نادر و خاکی نادر (کد MMS-01) تجزیه شدند. پس از آن، نمودارهای لازم با نرم افزارهای Corel Draw، GCDkit، Minpet و GCDkit رسم گردید.

سنگنگاری

برپایه بررسی‌های میکروسکوپی، ترکیب اصلی توده آتشفشانی شرق روستای پدران، بازالت-الیوین بازالت است که در ادامه به شرح آن پرداخته می‌شود.

بافت سنگ، پورفیری با زمینه ریزسنگی و گاهی بین دانه ای است. درشت بلورهای الیوین شکل دار (شکل ۳ الف)، نیمه شکل دار (شکل ۳ ب) و بی‌شکل (شکل ۳ پ) حدود ۱۰ تا ۱۵ درصد حجم سنگ را تشکیل داده‌اند. گاهی اندازه آن‌ها به دو تا سه میلی‌متر می‌رسد. برخی بلورهای الیوین لبه واکنشی نشان می‌دهند. همچنین، تعدادی از درشت بلورهای الیوین به کانی‌های دگرسانی از جمله سپیانتن، کلریت و اکسید آهن تبدیل شده‌اند. وجود لبه‌های ایدنگزیتی پیرامون برخی بلورهای الیوین رایج است. جایگزینی اولیوین‌ها با ایدنگزیت بیانگر شرایط اکسایشی محیط طی فرایند دگرسانی است. انتظار می‌رود که اولیوین‌های با فورستریت کمتر بیشتر در معرض ایدنگزیتی شدن باشند، زیرا به علت وجود آهن بیشتر در برابر اکسایش حساس‌تر هستند و ایدنگزیتی شدن شدیدتری را نشان



شکل ۳ ویژگی‌های میکروسکوپی بازالت‌های منطقه پدران: (الف) درشت بلورهای ستونی ریز پیروکسین و کانی کدر، (ب) درشت بلورهای نیمه‌مشکل دار الیوین، (پ) درشت بلورهای بی‌مشکل دار الیوین، (ت) لیه خلیجی در بلورهای الیوین. (نشانه‌های اختصاری کانی‌ها برگرفته از مرجع [۲۲]).

بین ۸/۳۵ تا ۸/۷۵ درصد و P_2O_5 بین ۰/۴۶ تا ۰/۵۰ درصد متغیر است. برای نامگذاری سنگ‌های بازالتی منطقه پدران از نمودارهای رده‌بندی مراجع [۲۴، ۲۵] (شکل ۵) استفاده شد. چنان‌که دیده می‌شود، سنگ‌های مورد بررسی در این نمودارها، به ترتیب در گستره بازالت و تراکی‌بازالت با ماهیت قلیایی (نزدیک به نیمه‌قلیایی) قرار دارند. نتایج محاسبه کانی‌های هنجاری بازالت‌های پدران به روش CIPW نشان داد که مقدار کانی‌های مختلف بر حسب درصد وزنی شامل نفلین ۰/۲ تا ۰/۲۶۸، دیوپسید ۱۳/۱۵ تا ۱۶/۵۶، آنورتیت ۱۷/۶۴ تا ۱۸/۸۳، آلبیت ۲۷/۲۵ تا ۳۳/۴۲، ارتوز ۷/۹۲ تا ۱۰/۶۴، الیوین ۱۰/۱۳ تا ۱۵/۷۲، مگنتیت ۶/۱۴ تا ۱۲/۴۹، ایلمنیت ۲/۱ تا ۲/۲ است. حضور نفلین هنجاری، نداشتن کوارتز و همچنین هیپرسن (به جز دو نمونه) بیانگر ماهیت قلیایی نمونه‌های است. مقدار MgO در نمونه‌ها بین ۹/۵۲ تا ۱۰/۰۳ درصد وزنی و مقدار $Mg\#$ در این بازالت‌ها بین ۵۳/۲۹ تا ۶۲/۶۸ درصد متغیر بوده که نشانگر خاستگاه گوشه‌ای برای آن‌هاست [۲۶].

شیمی کانی الیوین

بر اساس نتایج تجزیه ریزپردازشی با کاوشگر پرتوی ایکس کانی الیوین در بازالت‌های منطقه پدران (جدول ۱)، مقدار MgO از ۳۸/۴۳ تا ۴۳/۵۸ درصد وزنی و مقدار FeO بین ۱۷/۳۱ تا ۲۳/۶۶ درصد وزنی متغیر بوده و آنها دارای ترکیب شیمیایی $Fe_{75-87} Fa_{13-25}$ هستند. برای تعیین نوع کانی الیوین از نمودار $Fe^{2+}/Fe^{2+} + Mg$ نسبت به $Mg/Fe^{2+} + Mg$ ارائه شده است، استفاده گردید. بر این اساس، ترکیب الیوین موجود در بازالت‌های پدران در گستره کریزولیت غنی از منیزیم قرار دارد (شکل ۴). مقدار $Mg\#$ الیوین‌های بررسی شده ۷۵ تا ۸۷ درصد و $Fe\#$ آنها ۱۳ تا ۲۶ درصد است.

زمین‌شیمی

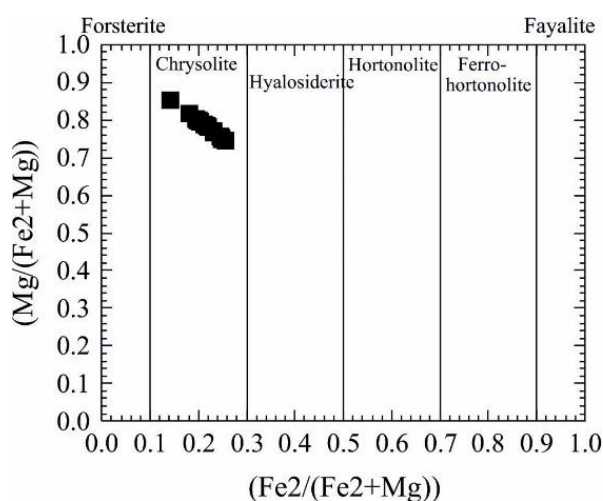
نتایج تجزیه‌شیمیایی نمونه‌های منطقه پدران در جدول ۲ آورده شده است. مقدار SiO_2 در این سنگ‌ها از ۴۹/۶۸ تا ۵۰/۷۰ درصد، Na_2O از ۳/۷۷ تا ۴/۱۸ درصد، K_2O از ۱/۲۷ تا ۱/۸۰ درصد، Al_2O_3 از ۸/۱۵ تا ۸/۶۱ درصد، Fe_2O_3T بین ۱/۱۶ تا ۱/۱۱ درصد، TiO_2 بین ۱۴/۷۷ تا ۱۴/۹۴ درصد، CaO

جدول ۱ نتایج تجزیه ریزپردازشی با پرتو ایکس کانی الیوین در بازالت‌های منطقه پدران (تعداد کاتیون‌ها بر مبنای ۴ اکسیژن).

نمونه	M-020-54-1	54-2	54-4	54-6	54-7	54-8	54-11	54-12
SiO ₂	۳۶,۲۶	۳۵,۴۵	۳۷,۱۹	۳۵,۷۵	۳۷,۶۵	۳۷,۲۹	۳۷,۶۹	۳۹,۴۷
TiO ₂	---	---	---	---	---	---	---	---
Al ₂ O ₃	۰,۰۲	۰,۰۳	۰,۰۲	۰,۰۲	۰,۰۲	۰,۰۲	۰,۰۳	۰,۰۱
Cr ₂ O _۳	۰,۱۶	۰,۱۶	۰,۰۷	۰,۱۶	۰,۱۶	۰,۱۴	۰,۰۵	۰,۰۱
FeO	۲۱,۵۷	۲۰,۶۲	۱۹,۱۲	۱۹,۹۸	۱۹,۰۴	۱۸,۶۹	۱۷,۳۱	۱۸,۱۶
MnO	۰,۷۴	۰,۶۸	۰,۵۸	۰,۶۱	۰,۷۸	۰,۶۸	۰,۵۸	۰,۶۸
MgO	۴۰,۳۷	۴۲,۰۰	۴۱,۷۶	۴۱,۹۱	۴۱,۴۲	۴۲,۱۶	۴۳,۵۸	۴۰,۷۸
CaO	۰,۱۱	۰,۱۸	۰,۱۷	۰,۱۵	۰,۱۷	۰,۱۱	۰,۱۹	۰,۱۵
Na ₂ O	---	---	---	---	---	---	---	---
K ₂ O	۰,۰۲	۰,۰۱	۰,۰۴	۰,۰۵	۰,۰۶	۰,۰۷	۰,۰۷	۰,۱۱
NiO	۰,۴۶	۰,۶۰	۰,۷۶	۰,۵۸	۰,۴۴	۰,۵۳	۰,۲۸	۰,۲۴
مجموع	۹۹,۵۵	۹۹,۵۷	۹۹,۷۹	۹۹,۰۵	۹۹,۵۸	۹۹,۵۵	۹۹,۷۳	۹۹,۶۰
تعداد کاتیون‌ها بر پایه ۴ اکسیژن								
Si	۰,۹۲	۰,۹۳	۰,۹۵	۰,۹۴	۰,۹۵	۰,۹۵	۰,۹۵	۰,۷۷
Ti	۰,۰۰	۰,۰۰	۰,۰۰	۰,۰۰	۰,۰۰	۰,۰۰	۰,۰۰	۰,۰۰
Al	۰,۰۱	۰,۰۰	۰,۰۲	۰,۰۱	۰,۰۲	۰,۰۱	۰,۰۱	۰,۰۲
Cr	۰,۰۱	۰,۰۱	۰,۰۰	۰,۰۰	۰,۰۰	۰,۰۰	۰,۰۰	۰,۰۰
Fe ²⁺	۰,۴۸	۰,۴۶	۰,۴۲	۰,۴۴	۰,۴۱	۰,۴۱	۰,۳۷	۰,۳۰
Mn	۰,۰۲	۰,۰۱	۰,۰۱	۰,۰۱	۰,۰۲	۰,۰۱	۰,۰۱	۰,۰۱
Mg	۱,۵۹	۱,۶۵	۱,۶۲	۱,۶۵	۱,۶۱	۱,۶۳	۱,۶۷	۲,۱۱
Ca	۰,۰۱	۰,۰۱	۰,۰۱	۰,۰۱	۰,۰۲	۰,۰۱	۰,۰۱	۰,۰۱
Ni	۰,۰۱	۰,۰۱	۰,۰۲	۰,۰۱	۰,۰۱	۰,۰۱	۰,۰۱	۰,۰۱
مجموع	۳,۰۶	۳,۰۷	۳,۰۴	۳,۰۶	۳,۰۴	۳,۰۵	۳,۰۴	۳,۲۳
اعضای پایانی								
Mg (Fo)	۷۷	۷۸	۸۰	۷۹	۸۰	۸۰	۸۲	۸۷
Fe کل	۲۳	۲۲	۲۰	۲۱	۲۰	۲۰	۱۸	۱۳

ادامه جدول ۱

نمونه	M-020-56-1	56-2	56-3	56-5	56-6	56-7	56-8	56-9
SiO ₂	۳۷,۲۸	۳۵,۶۶	۳۷,۰۲	۳۵,۳۰	۳۵,۵۵	۳۹,۸۰	۳۸,۸۷	۳۸,۱۳
TiO ₂	۰,۰۷	۰,۰۱	۰,۰۱	۰,۰۱	۰,۲۱	---	---	---
Al ₂ O _۳	۰,۰۲	۰,۰۳	۰,۰۴	۰,۰۳	۰,۰۲	---	---	---
Cr ₂ O _۳	۰,۰۳	۰,۰۴	۰,۰۴	۰,۱۱	۰,۰۹	۰,۰۳	۰,۰۴	۰,۰۲
FeO	۲۲,۷۳	۲۲,۰۰	۲۲,۸۶	۲۲,۹۸	۲۳,۶۶	۱۷,۹۲	۱۸,۶۵	۲۰,۲۲
MnO	۰,۷۸	۰,۷۴	۰,۷۳	۰,۷۸	۰,۸۰	۰,۶۴	۰,۶۵	۰,۶۴
MgO	۳۸,۴۳	۴۰,۸۸	۳۸,۶۱	۳۹,۷۶	۳۸,۶۸	۴۱,۰۹	۴۱,۳۳	۴۰,۳۴
CaO	۰,۲۰	۰,۱۹	۰,۱۷	۰,۱۵	۰,۱۷	۰,۱۴	۰,۱۱	۰,۱۷
Na ₂ O	---	---	---	---	---	---	---	---
K ₂ O	۰,۰۷	۰,۰۳	۰,۰۲	۰,۰۹	۰,۰۶	۰,۰۶	۰,۰۶	۰,۰۷
NiO	۰,۲۳	۰,۲۴	۰,۲۶	۰,۲۶	۰,۲۴	۰,۱۸	۰,۲۱	۰,۲۱
مجموع	۹۹,۸۱	۹۹,۷۸	۹۹,۷۲	۹۹,۳۶	۹۹,۳۹	۹۹,۸۳	۹۹,۹۲	۹۹,۷۸
تعداد کاتیون‌ها بر پایه ۴ اکسیژن								
Si	۰,۹۴	۰,۹۳	۰,۹۵	۰,۹۲	۰,۹۲	۱,۰۰	۰,۹۸	۰,۹۷
Ti	۰,۰۰	۰,۰۰	۰,۰۰	۰,۰۰	۰,۰۰	---	---	---
Al	۰,۰۲	۰,۰۱	۰,۰۱	۰,۰۲	۰,۰۳	۰,۰۰	۰,۰۰	۰,۰۰
Cr	۰,۰۰	۰,۰۰	۰,۰۰	۰,۰۰	۰,۰۰	۰,۰۰	۰,۰۱	۰,۰۱
Fe ²⁺	۰,۵۰	۰,۴۹	۰,۵۱	۰,۵۱	۰,۵۳	۰,۳۸	۰,۴۰	۰,۴۴
Mn	۰,۰۲	۰,۰۲	۰,۰۲	۰,۰۲	۰,۰۲	۰,۰۱	۰,۰۱	۰,۰۱
Mg	۱,۵۲	۱,۶۱	۱,۵۲	۱,۵۸	۱,۵۴	۱,۵۷	۱,۶۰	۱,۵۷
Ca	۰,۰۳	۰,۰۱	۰,۰۲	۰,۰۱	۰,۰۱	۰,۰۲	۰,۰۲	۰,۰۲
Ni	۰,۱	۰,۱	۰,۱	۰,۱	۰,۱	۰,۰۰	۰,۰۰	۰,۰۰
مجموع کاتیون‌ها	۳,۰۵	۳,۰۷	۳,۰۴	۳,۰۷	۳,۰۶	۳,۰۰	۳,۰۲	۳,۰۳
End members								
Mg (Fo)	۷۵	۷۷	۷۵	۷۶	۷۴	۸۰	۸۰	۷۸
Fe کل	۲۵	۲۳	۲۵	۲۴	۲۶	۲۰	۲۰	۲۲



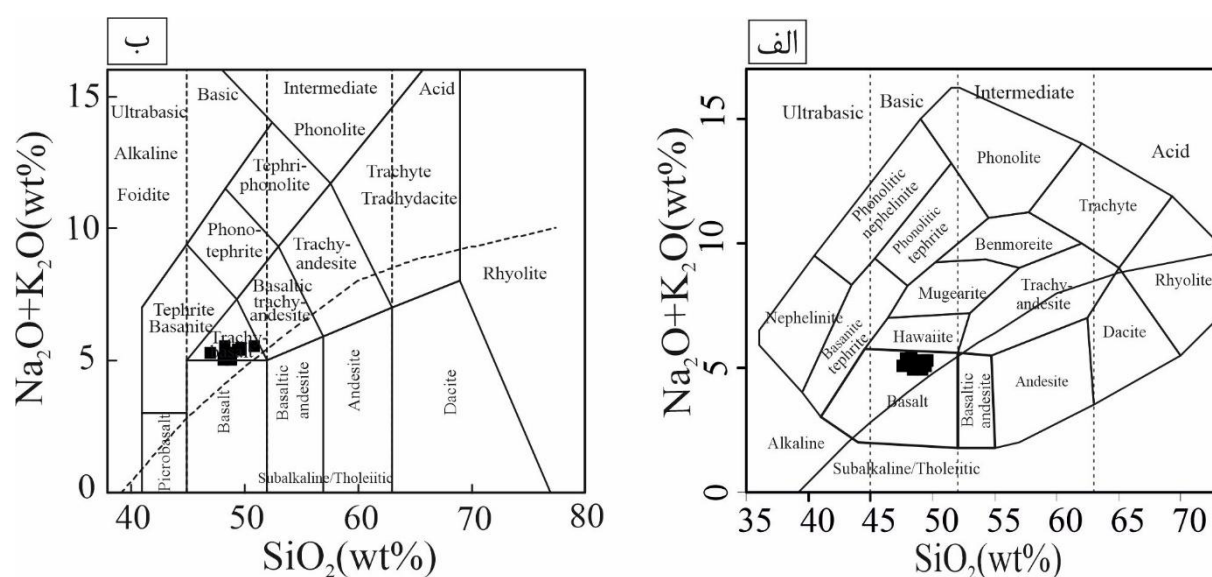
شکل ۴ نمودار $Mg/Fe^{2+} + Mg$ نسبت به $Fe^{2+}/Fe^{2+} + Mg$ برای نامگذاری الیوین [۲۳] و موقعیت الیوین‌های بازالت پدران.

جدول ۲ نتایج تجزیه زمین‌شیمیایی عناصر اصلی (درصد وزنی) و نادر (ppm) سنگ‌های آتشفشاری بازیک منطقه پدران.

نمونه	M-20-53	M-20-54	M-20-55	M-20-56	M-20-57	M-20-58
نوع سنگ	بازالت	بازالت	بازالت	بازالت	بازالت	بازالت
موقعیت	X 59°35'49"	59°25'51"	59°25'59"	59°25'54"	59°25'58"	59°35'55"
	Y 22°40'48"	22°40'50"	22°40'43"	22°40'46"	22°40'47"	22°40'50"
SiO ₂	49.68	50.54	49.94	49.84	50.7	50.6
TiO ₂	1.15	1.12	1.16	1.16	1.11	1.11
Al ₂ O ₃	14.88	14.94	14.94	14.92	14.93	14.84
Fe ₂ O ₃ T	8.37	8.25	8.32	8.23	8.36	8.38
MnO	0.19	0.15	0.15	0.15	0.15	0.15
MgO	9.81	9.67	9.52	9.75	9.55	9.95
CaO	8.75	8.56	8.63	8.62	8.36	8.4
Na ₂ O	2.91	4.08	4.18	3.77	4.09	4.08
K ₂ O	1.53	1.44	1.27	1.8	1.46	1.34
P ₂ O ₅	0.48	0.47	0.5	0.48	0.47	0.46
LOI(مواد فلزی)	0.92	0.4	1.11	0.88	0.61	0.49
مجموع	99.67	99.72	99.72	99.8	99.79	99.8
Ba(ppm)	58.9	57.3	58.8	57.1	58.7	57.2
Cs	1.9	1.5	2.9	1.4	3	1.6
Hf	3.55	3.71	4.86	5.04	3.65	3.06
Nb	21.2	19.3	21.2	22.9	19.9	20.8
Rb	43	13	11	27	14	10
Sr	96.8	89.6	93.9	92.3	9.9	88.4
Ta	1.82	1.78	1.81	2.15	1.38	1.87
Th	8.1	7.1	7.82	8.23	7.79	7.65
Co	41.1	38.3	38.1	37.9	38.2	39.1
U	1.3	1.2	1.6	1.4	1.5	1.5
V	19.4	19.1	19.0	18.9	19.3	19.3
Zr	142	138	143	142	137	136
Y	17.7	17.6	17.5	17.2	17.5	17.2
La	40	39	40	39	39	38
Ce	72	69	72	70	70	69
Pr	7.76	7.79	8.19	8.31	8.46	8.01
Nd	33.1	32.1	32.8	37.1	33.2	32.9
Sm	4.79	4.74	4.69	4.8	4.61	4.99
Eu	2.49	2.73	2.71	2.21	2.96	2.76
Gd	5.28	5.32	5.16	4.86	4.93	5.37
Tb	0.88	0.89	0.87	0.93	0.79	0.71
Dy	4.55	4.13	3.9	4.49	4.99	4.44
Er	1.58	1.52	1.74	1.88	1.47	1.61
Tm	0.31	0.26	0.28	0.29	0.22	0.3
Yb	2.1	2.1	2.1	2.1	2.1	2.1
Lu	0.39	0.38	0.42	0.44	0.46	0.42
(La/Yb)N	12.84	12.52	12.84	12.52	12.52	12.20
Eu/Eu*	1.51	1.66	1.68	1.42	1.90	1.63

ادامه جدول ۲

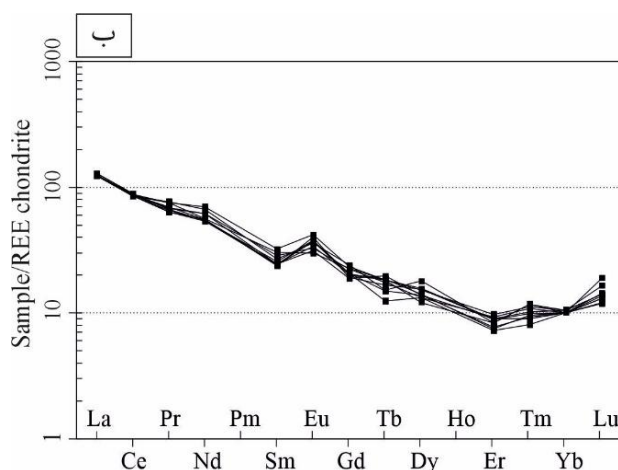
نمونه	M-20-59	M-20-60	M-20-61	M-20-62
نوع سنگ	بازالت	بازلت	بازلت	بازلت
موقعیت	X	۵۹°۳۵'۵۵.۶"	۵۹°۳۵'۵۱.۳"	۵۹°۳۵'۴۹.۵"
	Y	۳۲°۴۰'۵۲.۸"	۳۲°۴۰'۵۳.۷"	۳۲°۴۰'۵۶.۲"
SiO ₂	۵۰.۱۳	۵۰.۵	۵۰.۴۳	۵۰.۰۷
TiO ₂	۱.۱۱	۱.۱۲	۱.۱۱	۱.۱۳
Al ₂ O ₃	۱۴.۷۷	۱۴.۸۴	۱۴.۸۳	۱۴.۸۹
Fe ₂ O ₃ T	۸.۶۱	۸.۴۱	۸.۴۲	۸.۱۵
MnO	۰.۱۶	۰.۱۵	۰.۱۶	۰.۱۵
MgO	۱۰.۰۳	۹.۷۷	۹.۷۲	۹.۹۷
CaO	۸.۳۵	۸.۴۱	۸.۳۵	۸.۵۵
Na ₂ O	۳.۹۹	۳.۸۲	۳.۹۵	۴.۱۶
K ₂ O	۱.۳۷	۱.۵۳	۱.۵	۱.۴۶
P ₂ O ₅	۰.۴۷	۰.۴۷	۰.۴۶	۰.۴۸
LOI	۰.۶۷	۰.۷۱	۰.۷۹	۰.۷
مجموع	۹۹.۶۶	۹۹.۷۳	۹۹.۷۲	۹۹.۷۱
Ba(ppm)	۵۸۵	۵۸۲	۵۷۴	۵۹۶
Cs	۱.۵	۱.۸	۱.۵	۱.۵
Hf	۴.۱۳	۴.۷	۴.۰۶	۳.۷
Nb	۲۱.۷	۲۳.۸	۲۳.۹	۲۲.۴
Rb	۱۲	۳۰	۳۶	۴۳
Sr	۹۰.۱	۹۰.۹	۸۹.۵	۹۰.۱
Ta	۱.۸۱	۱.۹۲	۱.۹۸	۱.۷۶
Th	۷.۹۱	۸.۸۲	۸.۰۸	۸.۲۱
Co	۳۸.۱	۳۸.۹	۳۷.۱	۳۶.۳
U	۱.۶	۱.۸	۱.۶	۱.۵
V	۱۹۱	۱۹۳	۱۹۴	۱۹۳
Zr	۱۳۵	۱۴۲	۱۴۵	۱۴۴
Y	۱۷.۳	۱۸.۵	۱۸.۶	۱۸.۶
La	۳۹	۳۹	۳۸	۳۹
Ce	۷۱	۶۹	۶۹	۷۱
Pr	۸.۳۹	۹.۲۲	۹.۴۱	۹.۲
Nd	۳۷.۳	۴۲.۲	۴۰.	۳۳.۷
Sm	۵.۵۳	۶.۲۷	۵.۲	۵.۹۶
Eu	۲.۴۱	۲.۰۷	۲.۶۴	۲.۲
Gd	۵.۷۵	۶.۰۸	۶.۲۱	۵.۸۹
Tb	۰.۸۳	۰.۸۷	۰.۷۲	۰.۸۷
Dy	۴.۲۵	۴.۸۸	۵.۷۷	۵.۰۳
Er	۱.۹۶	۲.۰۴	۱.۷۵	۱.۸۸
Tm	۰.۳۵	۰.۳۶	۰.۳۸	۰.۳۳
Yb	۲.۱	۲.۲	۲.۲	۲.۲
Lu	۰.۶۱	۰.۵۳	۰.۴۵	۰.۴۵
(La/Yb)N	۱۲.۵۲	۱۱.۹۵	۱۱.۸۰	۱۱.۹۰
Eu/Eu*	۱.۳۱	۱.۵۲	۱.۴۲	۱.۱۴



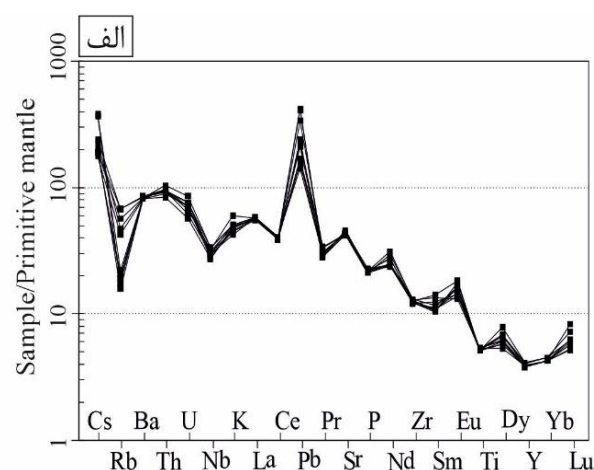
شکل ۵ الف و ب) نامگذاری بازالت‌های منطقه پدران بر اساس نمودارهای مجموع قلیابی نسبت به سیلیس به ترتیب از مراجع [۲۴، ۲۵].

نگهداری P می‌شود و حضور ایلمنیت در آن جذب و نگهداری Zr، Ti، Nb و Zr را در پی دارد و از این رو، عناصر P، Nb، Ti را در ماقما دچار بی‌هنجری منفی می‌کنند [۲۹]. وجود بی‌هنجری منفی Ti، P و Nb در روند تغییرات عناصر کمیاب نمونه‌های مورد بررسی بیانگر تشکیل این سنگ‌ها در مناطق فرورانش است [۳۰]. Rb در کانی‌ها جایگزین پتاسیم می‌شود. از آنجا که در بازالت‌های پدران، مقدار K کم است، Rb ناهنجاری منفی نشان می‌دهد.

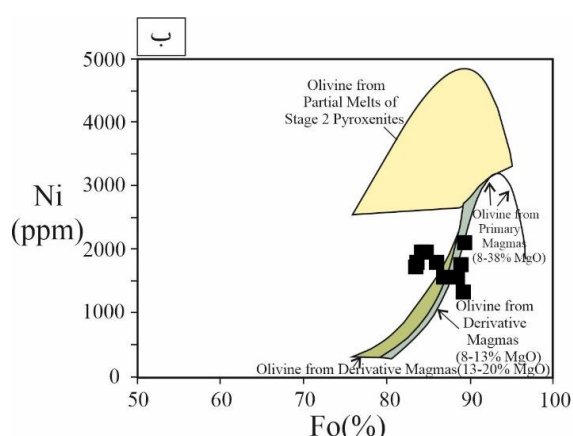
نمودارهای عناصر کمیاب بهنجارشده با گوشته اولیه [۲۷] و عناصر خاکی نادر بهنجارشده با کندریت [۲۸] برای بازالت‌های پدران به ترتیب در شکل‌های ۶ الف و ب آورده شده‌اند. نمودار چند عنصری بهنجارشده با گوشته اولیه [۲۷] نشان می‌دهد که همه عناصر نسبت به ترکیب گوشته اولیه غنی‌شدگی داشته و بیشتر آن‌ها غنی‌شدگی ۵ تا ۵۰۰ برابری دارند (شکل ۶ الف). در بازالت‌های پدران، عناصر با شدت میدان بالا نشان می‌دهند. حضور آپاتیت در سنگ خاستگاه، باعث



شکل ۶ الف) نمودار عناصر نادر بهنجارشده با گوشته اولیه [۲۷]، ب) الگوی عناصر خاکی نادر بهنجارشده با کندریت [۲۸] برای گدازه‌های بازالتی پدران.



شیمیایی و ایزوتوبی برای تفکیک خاستگاه‌های گوشه‌ای پیروکسینیتی و پریدوتیتی بازالت‌های قاره‌ای و اقیانوسی استفاده شده است [۱، ۳۴]. مذاب‌های شکل گرفته از پیروکسینیت را می‌توان بر پایه ترکیب عناصر اصلی و نادر (چون Ca, Mn و Ni) در درشت بلورهای سنگ‌های بازیک، از مذاب‌های تشکیل شده از پریدوتیت تفکیک کرد [۳۵]. تمرکز Ni, Ca و Mn در مذاب‌های اولیه با ضریب توزیع کلی آن‌ها طی ذوب گوشه‌های کنترل می‌شود. بررسی‌های تجربی نشان داده است که دما-فشار و ترکیب مذاب می‌توانند بر توزیع نیکل و منگنز بین الیوین و مذاب اثر بگذارند. برای مثال، ذوب پریدوتیت در فشار بالا ضریب توزیع نیکل بین الیوین، مذاب را کاهش و ضریب توزیع منگنز بین الیوین/مذاب را افزایش می‌دهد، بطوری که سبب ایجاد مذاب‌های بخشی به نسبت غنی از Ni و تهی شده از Mn می‌شود [۳۶]. رفتار مشابه Mn^{2+} و Fe^{2+} طی ذوب، بخشی سنگ‌های فرامافیک نشان می‌دهد که طی این فرآیند، نسبت Mn/Fe پایدار بوده و نسبت به جدایش بلورین حساس نیست [۳۷]. ترکیب الیوین‌های در تعادل با مذاب‌ها نشان داده است که مذاب بازالتی تولید شده در اثر ذوب بخشی پیروکسینیت دارای نسبت Mn/Fe پایین‌تر از مذاب‌های برآمده از پریدوتیت است [۳۲]. درشت بلورهای الیوین در بازالت پدران مقدار $100^*Ni/Mg$ بین ۰.۵ و ۱ دارند که پایین‌تر از مقدار آن در بازالت‌های جزایر اقیانوسی هواوی است و از سوی دیگر دارای گستره وسیع‌تری از $100^*Mn/Fe$ (۳/۸ تا ۳/۱) نسبت به بازالت‌های جزایر اقیانوسی هواوی هستند. چنان‌که در شکل ۷ الف دیده می‌شود، الیوین‌های بازالت پدران در گستره خاستگاه پریدوتیتی [۳۸] قرار دارند.

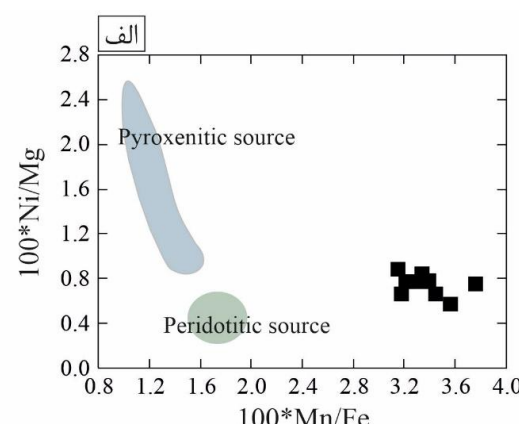


شکل ۷ ب) نمودار $100^*Ni/Mg$ نسبت به $FO(\%)$ درشت بلورهای الیوین [۳۸]؛ نمودار مقدار Ni نسبت به FO(%) درشت بلورهای الیوین [۳۹] در بازالت پدران.

در سنگ‌های بازالتی بررسی شده، عناصر سنگ دوست بزرگ یون (LILE) چون La, Pb, Th, U, Cs و همچنین La, Th, Pb و Ba می‌تواند بیانگر آغشته‌ای پوسته‌ای در مagma‌های سازنده این سنگ‌ها باشد [۳۱]. در الگوی عناصر خاکی نادر سنگ‌های بررسی شده بهنجار شده نسبت به کندریت [۲۸]، غنی‌شدگی عناصر خاکی نادر سبک (LREE) نسبت به عناصر خاکی نادر سنگین (HREE) دیده می‌شود (شکل ۶ ب). غنی‌شدگی LREE‌ها به ویژه La و Ce نشان دهنده گوشه‌ای غنی شده برای خاستگاه magma‌است. تهی‌شدگی عناصر خاکی نادر سنگین حضور کانی گارنت در خاستگاه را تأیید می‌نماید که به دلیل درجه کم ذوب‌بخشی، گارنت ذوب‌نشده و عناصر خاکی نادر سنگین وارد فاز مذاب نشده‌اند. حضور گارنت در سنگ خاستگاه، از عوامل تهی‌شدگی HREE‌ها نسبت به LREE‌ها در بازالت‌هاست [۳۲].

بحث

تعیین خاستگاه بر پایه ترکیب الیوین
سنگ‌شناسی و کانی‌شناسی خاستگاه سنگ‌های بازالتی برای درک فرایندهای magma‌ای و خاستگاه magma‌های برآمده از ذوب گوشه‌های مهم است. به طور کلی، magma‌های بازالتی از ذوب اجزای پریدوتیت و پیروکسینیت تشکیل می‌شوند. سازنده پیروکسینیت با مواد پوسته‌ای دگرگون شده از صفحه فرورونده در ارتباط است [۳۳]. مذاب‌های برآمده از پوسته اقیانوسی دگرگون شده می‌توانند با پریدوتیت گوشه‌های وارد واکنش شده و پیروکسینیت تشکیل دهند که سازنده مهمی در شکل‌گیری گوشه‌های بازالت‌های جزایر اقیانوسی است [۱]. برخی ویژگی‌های زمین-



شکل ۷ الف) نمودار $100^*Mn/Fe$ نسبت به $100^*Ni/Mg$ درشت بلورهای الیوین [۳۸]؛ نمودار مقدار Ni نسبت به FO(%) درشت بلورهای الیوین [۳۹] در بازالت پدران.

نمود، به طوری که مقدار FC3MS بیش از ۰/۶۵ بیانگر خاستگاه پیروکسنتی و مقدار کمتر از آن نشانگر خاستگاه پریدوتیتی هستند [۲]. نسبت‌های MgO/SiO_2 و FeO/CaO در مذاب‌های پریدوتیتی مانند نسبت FeO/MnO با مقدار فشار تطابق مثبت دارند، اما مقدار FC3MS مستقل از فشار است. چنان که در شکل‌های ۸ الف، ب و پ دیده می‌شود، نمونه‌های بازالتی پدران براساس نمودارهای FC3MS نسبت به SiO_2 و MgO [۲] و همچنین FC3MS نسبت به FeO/MnO [۴۵] در گستره مذاب‌های پریدوتیتی قرار دارند. در نمودار FC3MS نسبت به WR-Mg# (عدد منیزیم سنگ کل) برای تفکیک خاستگاه گوشتیهای [۳۸]، نیز نمونه‌های بازالتی پدران با FC3MS کمتر از ۰/۶۵ در گستره مذاب‌های پریدوتیتی واقع می‌شوند (شکل ۸ ت). از این رو، ذوب‌بخشی گوشتیه پریدوتیتی برای خاستگاه سنگ‌های بررسی شده پیشنهاد می‌شود.

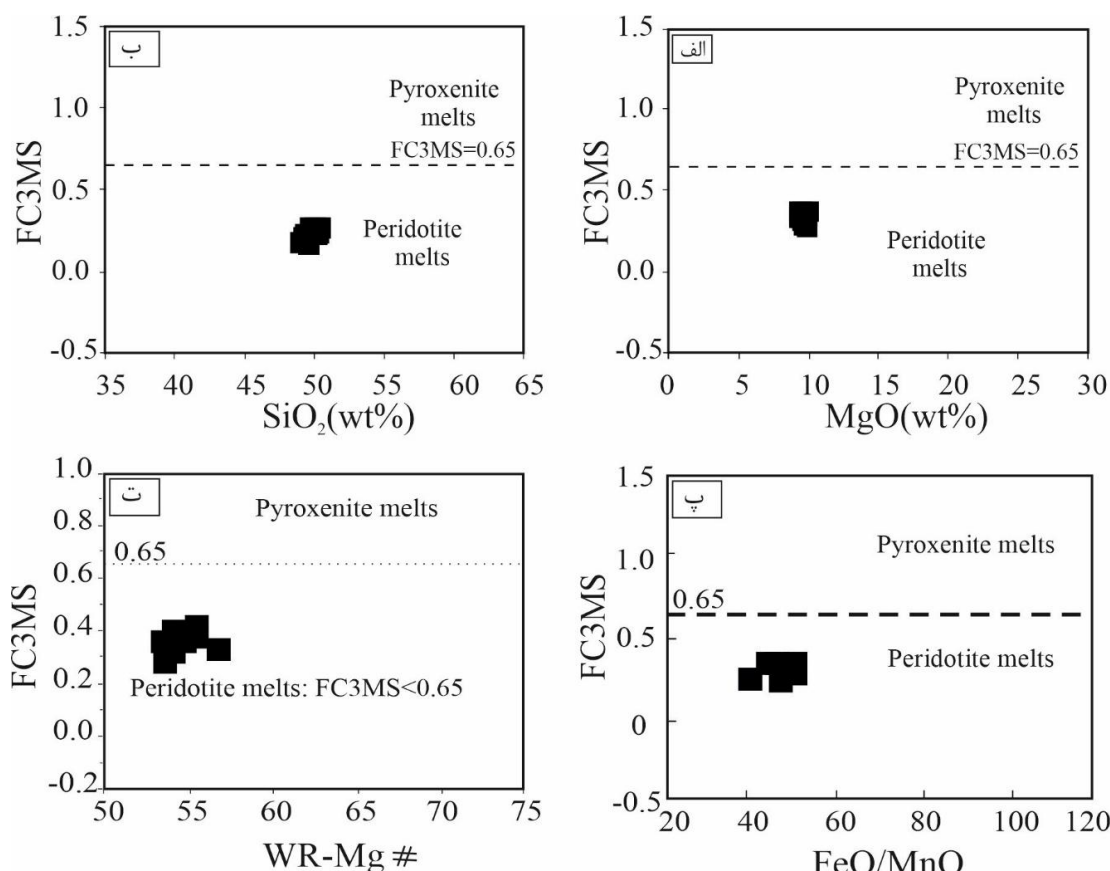
مقدار بالای MgO و $\text{Mg}^{\#}$ که پیشتر به آن‌ها اشاره شد و همچنین مقدار به نسبت بالای Ni (۲۳۲-۲۶۸ ppm) و Cr (۳۶۷-۴۶۱ ppm) در بازالت‌های پدران نشان می‌دهند که ماقمای سازنده آن‌ها از گوشتیه بالایی شکل گرفته و به صورت جدایش نیافته یا کمی جدایش یافته فوران نموده است. نسبت ایزوتوپی $^{87}\text{Sr}/^{86}\text{Sr}$ اولیه در ترکیب با سایر پارامترهای زمین‌شیمیایی برای بررسی ویژگی‌های خاستگاه ماقمایها و تغییرات بعدی ماقمای در حال صعود بسیار مفید است. بر اساس بررسی‌های ایزوتوپی انجام شده توسط یونگ و همکاران [۱۰]، نسبت $^{87}\text{Sr}/^{86}\text{Sr}$ اولیه در بازالت‌های مود (در ۵ کیلومتری غرب پدران) که شبیه بازالت‌های مورد بررسی هستند، در گستره ۰/۷۰۴۷ تا ۰/۷۰۴۴ (میانگen ۰/۷۰۴۶) بوده و این نظر را تقویت می‌نماید که ماقمای سازنده آن از گوشتیه بالایی شکل گرفته است.

برای بررسی کانی‌شناسی خاستگاه، از مدل‌سازی تمرکز عناصر ناسازگار استفاده می‌شود [۴۶]. گارنت در مقایسه با اسپینل، به صورت ترجیحی HREE‌ها را نسبت به LREE‌ها در بر می‌گیرد [۴۷]. از این رو، نسبت بالای Dy/Yb در سنگ‌های بازالتی اغلب با حضور گارنت در خاستگاه در ارتباط است. ذوب‌بخشی گارنت لرزولیت مذابی با نسبت Dy/Yb (بیش از ۲) و مقدار Yb پایین‌تر (کمتر از ۲ ppm) نسبت به خاستگاه اسپینل لرزولیت ایجاد می‌نماید. مذاب اسپینل-گارنت

مقدار Ni و Ca در درشت بلورهای الیوین می‌تواند اطلاعاتی درباره خاستگاه گوشتیهای ماقمایی بازالتی ارائه دهد. مذاب‌های شکل گرفته از پیروکسنتیت نسبت به مذاب‌های برآمده از پریدوتیت دارای Ni بالاتر و Ca پایین‌تر هستند [۳۳]. مقدار CaO در ترکیب الیوین‌های بررسی شده بین ۰/۱۱ تا ۰/۲۰ درصد وزنی و کاتیون Ca بین ۰/۰۱ و ۰/۰۳ متغیر بوده (جدول ۱) و نشانگر خاستگاه گوشتیه پریدوتیتی برای ماقمای است. نمودار مقدار Ni نسبت به FO(%) درشت بلورهای الیوین [۳۹] در بازالت پدران نیز نشان دهنده مذاب‌های اولیه جدایش یافته است (شکل ۷ ب).

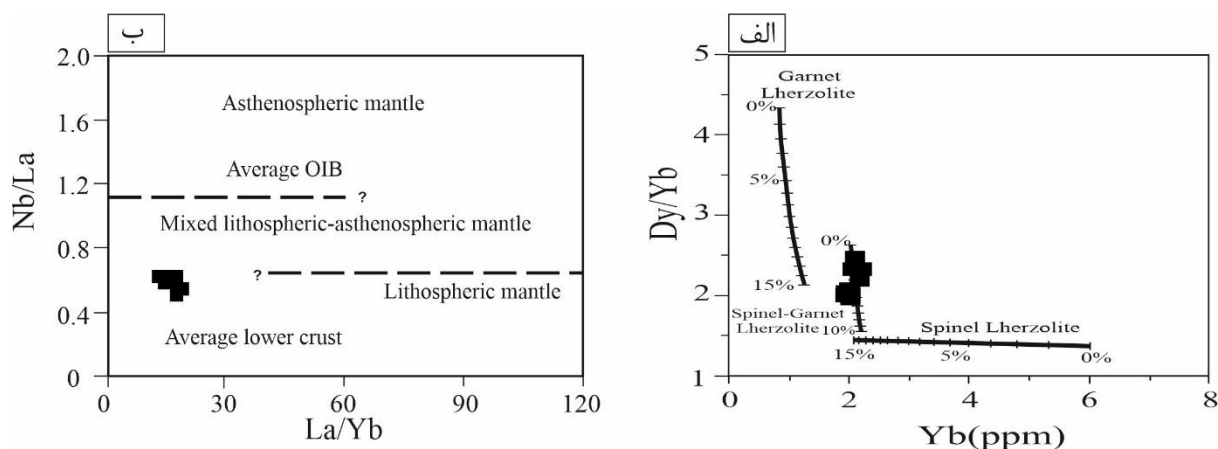
تعیین خاستگاه بر پایه شیمی سنگ کل
شناسایی ماهیت سنگ خاستگاه ماقمایی بازالتی، نقش اساسی در درک ترکیب، ساختار و تکامل زمین دارد. با این وجود، سنگ شناسی خاستگاه بازالت‌ها ناشناخته مانده است [۲]. شواهد متعددی وجود دارد که بازالت می‌تواند در اثر ذوب بخشی خاستگاه‌های مختلف چون پیروکسنتیت و پریدوتیت یا آمیزه آن‌ها بوجود آید [۴۰-۴۲]. بازالت‌های شکل گرفته از گوشتیه پنجره‌ای برای درک ساختار داخلی و تکامل بخش‌های عمیق زمین به کار رفته‌اند [۴۳، ۵]. با این حال، طی صعود ماگما، چند فرایند ماگمایی (از جمله آمیختگی ماگمایی، تبلور بخشی و آلودگی پوسته‌ای) می‌تواند تنوع ترکیبی سنگ کل را کاهش داده و اطلاعات پیرامون خاستگاه ماگما را پنهان نماید [۵، ۴۴]. پیروکسنتیت دارای ترکیب کانی‌شناسی شبیه پریدوتیت بوده اما دارای کمتر از ۴۰ درصد الیوین است. از دیدگاه ترکیبی، پیروکسنتیت و پریدوتیت به ترتیب دارای کمتر از ۳۰ درصد و بیشتر از ۳۰ درصد MgO هستند که این می‌تواند نقش مهمی در تولید ماقمای بازالتی داشته باشد. در نمودارهای ساده رایج مورد استفاده، مذاب‌های پیروکسنتیت به جز انواع دارای MgO پایین (کمتر از ۵ درصد)، TiO_2 بالا (بیش از ۶ درصد) و FeO بالا (بیش از ۱۵ درصد)، با مذاب‌های پریدوتیت (با فرض اینکه همه مذاب‌ها دچار جدایش الیوین و انباست بلورین شده‌اند)، همپوشی دارند. با این وجود، اغلب مذاب‌های پیروکسنتیتی با نسبت بالای FeO/CaO در مقدار معینی از نسبت MgO/SiO_2 مشخص می‌شوند [۲]. بر اساس نتایج تجربی برای پریدوتیت و پیروکسنتیت و بر پایه پارامتر $\text{FC3MS}=\text{FeO}/\text{CaO}-3*\text{MgO}/\text{SiO}_2$ (همه اکسیدها بر حسب درصد وزنی) می‌توان خاستگاه بازالت‌ها را شناسایی

کرهای هستند. نسبت‌های Nb/La و La/Yb برای نمونه‌های بازالتی پدران به ترتیب $0.49-0.63$ (میانگین 0.56 ± 0.05) و $19.05-17.27$ هستند و بر این اساس نمونه‌ها در مرز گوشه سنگ کرهای و گوشه آمیزه سنگ کرهای-سست کرهای [۴۹] قرار می‌گیرند (شکل ۹ ب). نتایج زمین دماسنجدی نشان داده است که عمق خاستگاه گارنت لرزولیت حدود ۷۰ تا ۷۶ کیلومتر است [۵۰]. به باور الام [۵۱]، منطقه دگرگونی اسپینل به گارنت در عمق ۶۰ تا ۸۰ کیلومتری واقع است. بر این اساس، می‌توان گفت که مگماهی سازنده بازالت‌های پدران که از منطقه دگرگونی بین فاز اسپینل و گارنت لرزولیت شکل گرفته در عمق حدود ۷۰ کیلومتر تشکیل شده است. چنان که پیشتر اشاره شد، نمودار عناصر خاکی نادر بازالت‌های پدران (شکل ۶ ب) نشان‌دهنده تهی شدگی از REE هاست که حضور فاز گارنت در کانی‌شناسی خاستگاه را تأیید می‌نماید.



شکل ۸ موقعیت نمونه‌های بازالتی پدران در نمودارهای تفکیک خاستگاه پیروکسنیتی و پریدوتیتی بازالت‌ها: (الف و ب) نمودارهای FC3MS نسبت به مقدار SiO_2 و MgO [۲، پ] نمودار FC3MS نسبت به FeO/MnO [۴۵] و (ت) نمودار FC3MS نسبت به $\text{WR-Mg} \#$ (Mg# سنگ کل) همه اکسیدها بر حسب درصد وزنی). [۳۸]

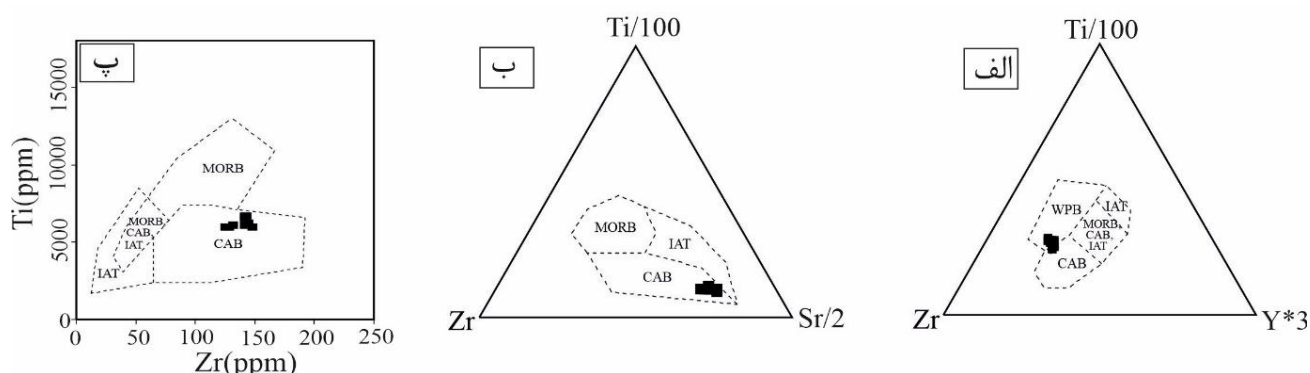
لرزولیت در مقایسه با مذاب گارنت لرزولیت دارای Yb کمی بالاتر (حدود ۲ ppm) و نسبت Dy/Yb کمتر (۱/۵ تا ۲/۵) است [۴۶]. مقدار Yb در بازالت‌های پدران ۲/۱ ppm تا ۲/۲ ppm و میانگین نسبت Dy/Yb برابر با ۲/۱۸ است که با خاستگاه اسپینل-گارنت لرزولیت همخوانی دارد. در نمودار Dy/Yb نسبت به Yb [۴۶] که در آن منحنی‌های ذوب اسپینل لرزولیت، گارنت لرزولیت و اسپینل-گارنت لرزولیت نشان داده شده است (شکل ۹ الف)، نمونه‌های بازالتی پدران بر روی منحنی اسپینل-گارنت لرزولیت و درجه ذوب‌بخشی حدود ۵ درصد قرار گرفته‌اند. اسمیت و همکاران [۴۸] پیشنهاد نمودند که به دلیل تهی شدگی Nb (چون Nb و Ta) نسبت به LREE‌ها در گوشه سنگ کرهای، نسبت بالای Nb/La (بیش از ۱) نشان‌دهنده خاستگاه گوشه سست کرهای و نسبت‌های پایین‌تر (کمتر از حدود ۰/۵) بیانگر خاستگاه گوشه سنگ



شکل ۹ موقعیت نمونه‌های بازالتی پدران در (الف) نمودار Dy/Yb نسبت به Yb [۴۶] که در آن، منحنی های ذوب اسپینل لرزولیت، گارنت لرزولیت و اسپینل-گارنت لرزولیت نشان داده شده است و (ب) نمودار تغییرات Nb/La نسبت به La/Yb [۴۹] که در آن، خطوط منقطع جداکننده گوشته سست کرده‌ای، سنگ کرده‌ای و خاستگاه ترکیبی هستند.

چنان که گفته شد، برای تعیین محیط زمین‌ساختی تشکیل بازالت‌ها از نمودارهای عناصر نادر استفاده می‌شود. برای این منظور، در این پژوهش نمودارهای ارائه شده توسط پیرس و کان [۵۷] به کار رفته‌اند. نمونه‌های برسی شده در نمودار سه‌تایی $(Y^{*}3)-Zr-(Ti/100)$ در مرز مشترک بازالت‌های آهکی-قلیایی و درون صفحه‌ای قرار می‌گیرند (شکل ۱۰ الف). بسیاری از بازالت‌های قاره‌ای، ویژگی‌های زمین‌شیمیایی آمیزه درون صفحه‌ای و جایگاه زمین‌ساختی وابسته به فروزانش را نشان می‌دهند [۳۰، ۵۸]. آلودگی با پوسته قاره‌ای یا سنگ کرده می‌تواند نشانه‌هایی شبیه فروزانش (چون Nb پایین و Ti پایین) ایجاد کرده و سبب شناسایی نادرست بازالت‌های درون صفحه‌ای آلوده شده به عنوان وابسته به کمان شود [۵۹]. به باور لی و همکاران [۵۴]، بسیاری از نمودارهای عناصر نادر مورد استفاده برای تفکیک بازالت حوضه پشت کمان از بازالت پشتی میان اقیانوسی، بازالت سیلابی قاره‌ای از بازالت فلات اقیانوسی و نیز انواع مختلف بازالت‌های قوس (درون-اقیانوسی، قوس جزیره و قوس قاره) موفق نبوده و فقط بازالت جزایر اقیانوسی و بعضی بازالت‌های پشتی میان اقیانوسی در نمودارها قابل تفکیک هستند. از این رو در بسیاری از نمودارهای جدید معرفی شده برای تفکیک انواع مختلف بازالت نیز مقدار همپوشی انواع بازالت بسیار بیشتر از نمودارهای قدیمی‌تر است [۵۴]. نمودار سه‌تایی $(Sr/2)-(Zr/100)-(Ti/100)$ نیز برای تفکیک بازالت‌های پدران استفاده شد که نمونه‌ها در قلمرو بازالت‌های آهکی قلیایی جای گرفته‌اند (شکل ۱۰ ب).

جایگاه زمین ساختی
نتایج بررسی‌های مختلف نشان داده است که ترکیب عناصر اصلی، فرعی و نادر سنگ‌های بازالتی به جایگاه زمین ساختی که در آن تشکیل شده‌اند، وابسته است. به بیان دیگر، ترکیب ماگماهای بازالتی می‌تواند به عنوان شاخص قابل اعتمادی برای بازسازی جایگاه زمین ساختی آن‌ها در نظر گرفته شود، زیرا ماگماهای بازالتی با ویژگی‌های زمین‌شیمیایی خود با جایگاه‌های زمین‌ساختی معینی همراه هستند. بر این اساس، نمودارهای مختلفی برای تفکیک جایگاه زمین ساختی بازالت‌ها و در نتیجه، شناسایی محیط زمین ساختی قدیمی آن‌ها بر پایه شواهد زمین‌شناسی ارائه شده است [۵۶-۵۲]. با این وجود، ویژگی‌های عناصر اصلی ماگماهای بازالتی شاخص حساس ویژه‌ای برای جایگاه زمین ساختی نیست، بلکه برخی عناصر نادر و نشانه‌های ایزوتوپی $Sr-Nd-Pb$ در ارتباط با محیط تشکیل مانع، می‌توانند در این مورد به کار روند [۵۶]. به طور کلی، بازالت‌ها بر پایه محیط زمین ساختی به انواع مختلف رده‌بندی شده‌اند [۵۶، ۵۴] که مهمترین آن‌ها عبارتند از: بازالت‌های پشت‌های میان اقیانوسی (MORB)، بازالت‌های جزایر اقیانوسی (OIB)، بازالت‌های قوس قاره‌ای (CAB)، بازالت‌های قوس (IAB)، بازالت‌های قوس درون اقیانوسی (IOAB)، جزیره (BABB)، بازالت‌های حوضه پشت قوس (CRB)، بازالت‌های سیلابی قاره‌ای (CFB)، بازالت‌های کافت قاره‌ای (OPB) فلات اقیانوسی (OPB).



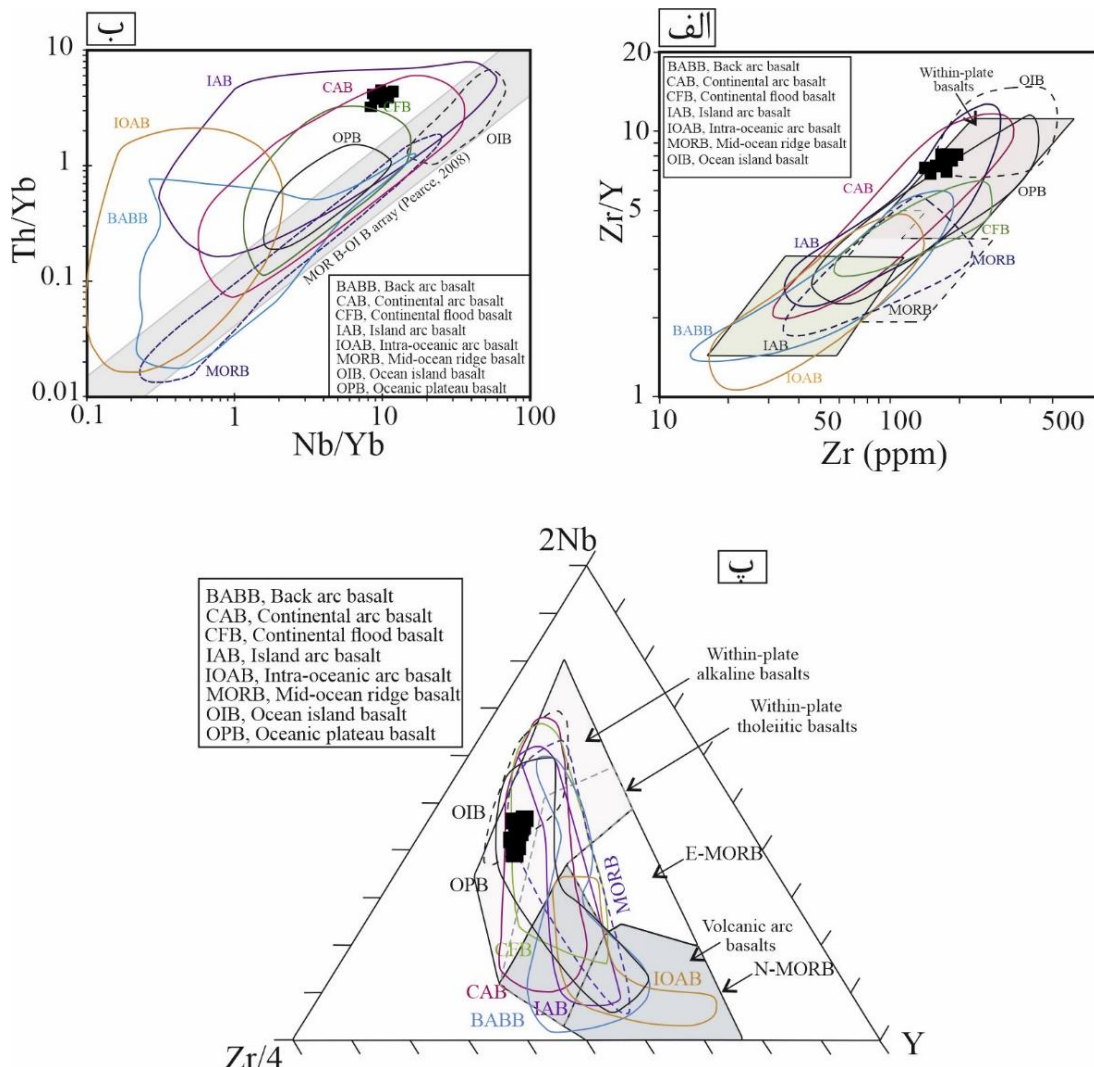
شکل ۱۰ نمودارهای شناسایی جایگاه زمین‌ساختی بازالت‌های منطقه پدران [۵۷]: (الف) نمودار سه تابی $\text{Y}^*(\text{Zr}/100)$ - $\text{Sr}/2$ - Ti ; (ب) نمودار تغییرات Zr - $\text{Ti}/(\text{Zr}/100)$ - $(\text{Sr}/2)$.

برای تفکیک انواع مختلف بازالت بسیار مفید هستند [۵۴]. برای مثال می‌توان از بود یا نبود ناهنجاری منفی Nb و Ta در نمودارهای چندعنصری برای رده‌بندی نمونه‌های در قلمرو بازالت‌های پشت‌های میان اقیانوسی (MORB) و کمان استفاده کرد. افزون بر این، فراوانی Th و LREE‌ها می‌تواند برای تفکیک نمونه‌های واقع در گستره بازالت‌های جزایر اقیانوسی و بازالت‌های پشت‌های میان اقیانوسی به کار رود [۵۴]. برای شناسایی جایگاه زمین‌ساختی بازالت پدران، از نمودار مقایسه‌ای عناصر نادر بهنجارشده با گوشه اولیه [۲۷] استفاده شد. چنان‌که در شکل ۱۲ الف دیده می‌شود، نمونه‌های پدران شبیه بازالت‌های محیط کمان شامل بازالت‌های آهکی‌قلیابی قاره‌ای (IAB) و بازالت‌های جزایر قوسی (CAB) هستند. برای تفکیک گستره‌های کمان قاره‌ای و اقیانوسی از نمودار Th/Yb نسبت به Ta/Yb [۵۶] استفاده شد که بر این اساس، نمونه‌های بازالت پدران در گستره کمان قاره‌ای قرار دارند (شکل ۱۲ ب). مقدار Nb در بازالت‌های قوس درون اقیانوسی (IOAB) و بازالت‌های قوس جزیره (IAB) پایین و به ترتیب کمتر از ۲/۶ ppm و کمتر از یا برابر با ۷ ppm بوده، در حالی که مقدار Nb در بازالت‌های قوس قاره (CAB) بیشتر (۳۶-۲-۲ ppm) است [۵۶]. مقدار Nb در بازالت‌های پدران ppm (۹/۳-۲۳/۹) است که شباهت آن‌ها با بازالت‌های قوس قاره را تأیید می‌نماید. نسبت Nb/Th که برخلاف بسیاری از نسبت‌های HFSE/LILE به تغییرات درصد مذاب غیرحساس است، می‌تواند در تعیین محیط زمین‌ساختی استفاده شود [۶۰]. نسبت Nb/Th کمتر از ۵ بیانگر جایگاه فروانش است که سیال‌های ورقه فرورونده فراوان هستند، در صورتی که نسبت Nb/Th بالای ۷ نشان-

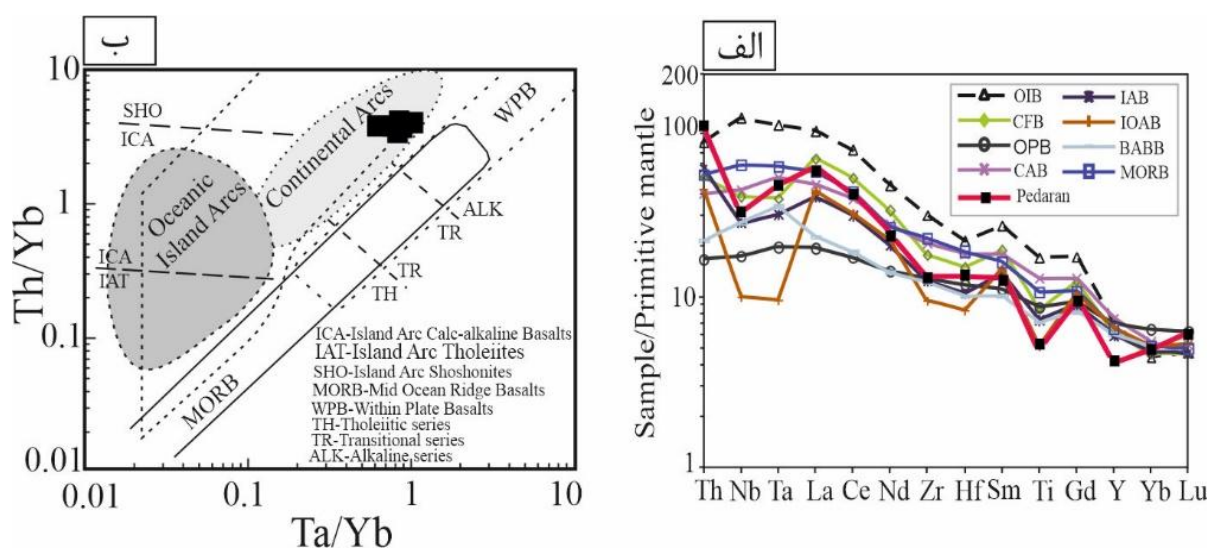
پایین از نشانه‌های فعالیت ماکمایی وابسته به کمان است [۱۰]. مقدار TiO_2 در بازالت‌های پدران [۱۱-۱۶] درصد وزنی است که وابستگی آن‌ها به کمان را تأیید می‌نماید. براساس نمودار تغییرات Zr در برابر Ti نیز، بازالت‌های پدران در گستره بازالت‌های آهکی‌قلیابی واقع هستند (شکل ۱۰ پ). این جایگاه زمین‌ساختی با ویژگی‌های زمین شیمیایی عناصر نادر بازالت‌های پدران در نمودارهای چندعنصری عناصر نادر همخوانی دارد. لی و همکاران [۵۴] دقت نمودارهای تفکیک عناصر نادر برای بازالت‌ها را با استفاده از مجموعه داده‌های شده در محیط‌های زمین‌ساختی مختلف (بازالت سیلابی قاره‌ای، بازالت پشت‌های میان اقیانوسی، بازالت جزایر اقیانوسی، بازالت فلات اقیانوسی، بازالت حوضه پشت قوس و انواع مختلف بازالت قوس) بیانگر همپوشانی قابل توجه هستند. همپوشانی انواع مختلف بازالت، به ویژه وقتی این نمودارها بدون توجه به داده‌های زمین‌شناسی و سنگ‌شناسی استفاده شوند، زیاد است. از بین نمودارهای متعدد معرفی شده توسط لی و همکاران [۵۴]، موقعیت نمونه‌های بازالتی پدران در سه نمودار Zr/Y-Nb/Y (شکل ۱۱ الف)، نمودار Th/Yb نسبت به Zr (شکل ۱۱ ب) و Zr,4-2Nb-Y (شکل ۱۱ پ) نشان داده شد. چنان‌که دیده می‌شود، گستره‌های مختلف همپوشانی دارند، اما نمونه‌ها در قلمرو کلی بازالت‌های قوس قاره (CAB) (رسم شده به رنگ بنفش) قرار گرفته‌اند. چنان‌که گفته شد، گستره بازالت‌های محیط‌های زمین‌ساختی مختلف در نمودارهای دوتایی و سه تابی همپوشانی دارند. از این رو، نمودارهای چند عنصری

پوسته بالایی حدود ۳/۸ [۶۳] و در نمونه‌های پدران به طور میانگین ۵/۳۵ بوده که بیانگر اثر آسودگی پوسته‌ای است. به طور کلی، بر پایه ویژگی‌های زمین شیمیایی عناصر نادر و نمودارهای شناسایی جایگاه زمین ساختی، می‌توان گفت که فرآیندهای مagmaی تشکیل بازالت‌های منطقه پدران با رخدادهای مناطق فروزانش و همگرا قابل مقایسه هستند. در بررسی‌های سنگ‌شناسی انجام شده توسط خراسانی [۶۴]، قربانی [۱۲] و وثوقی عابدینی [۱۳] درباره فعالیت آتشفشاری ترشیری شرق ایران، نیز چنین نتیجه‌گیری شده است که این مجموعه سنگ‌ها از نوع آهکی‌قلیایی و وابسته به مناطق کرانه فعال قاره هستند.

دهنده مذاب‌هایی است که در نبود سیال‌های ورقه فرورونده به وجود می‌آید. میانگین نسبت Nb/Th در بازالت‌های پدران ۲/۷۱ است که وابستگی آن‌ها به جایگاه فروزانش و نقش سیال‌های ورقه فرورونده را اثبات می‌نماید. برای بررسی آسودگی پوسته‌ای، از نسبت‌های Nb/U و Nb/La که به آلایش پوسته‌ای حساس هستند، استفاده می‌شود [۶۱]. میانگین این نسبت‌ها در سنگ‌های بازالتی پدران به ترتیب ۰/۵۶ و ۱۴/۵۸ است که با توجه به مقدار آن‌ها در پوسته ($Nb/La = ۰/۳۹$) و ($Nb/U = ۴/۴$) [۶۲] و گوشته ($Nb/U = ۴/۴$ و $Nb/La = ۲۵ \pm ۵$) [۲۷]، احتمال آلایش پوسته‌ای در سنگ‌های منطقه مورد بررسی وجود دارد. از نسبت Th/U نیز برای تعیین آسودگی پوسته‌ای در سنگ‌های مورد بررسی استفاده شد. این نسبت در



شکل ۱۱ موقعیت نمونه‌های بازالتی پدران در نمودارهای دوتایی و سه‌تایی معرفی شده توسط لی و همکاران [۵۴] ، شامل (الف) نمودار Y/Nb/Zr، (ب) نمودار Th/Yb/Nb/Yb و (پ) نمودار Y/Zr/4-2Nb



شکل ۱۲ (الف) مقایسه نمودار عناصر نادر بهنجارشده با گوشه اولیه [۲۷] بازالت‌های پدران با انواع مختلف بازالت [۵۴؛ ب) موقعیت نمونه‌های بازالت پدران در نمودار Th/Yb نسبت به Ta/Yb [۵۶].

گیرند. به باور راموس و کی [۶۷]، بازالت‌های پشت کمانی در ورای کمان‌های آتشفشاری اصلی، در بسیاری از نواحی کرانه قاره‌ای فعال تشکیل می‌شوند. این بازالت‌های پشت کمانی مکان‌های گذر از بازالت‌های کمانی به بازالت‌های درون قاره‌ای هستند. با وجود شباهت سنگنگاری بین بازالت‌های منطقه پدران و سنگ‌های بازیک بررسی شده توسط قاسمی و همکاران [۶۶، ۶۵]، جایگاه زمین‌شناسی این سنگ‌ها متفاوت بوده و از این رو وابستگی آن‌ها به محیط‌های زمین‌ساختی متفاوت دور از انتظار نیست.

برداشت

در کرانه جنوب شرقی روستای پدران در ۴۰ کیلومتری جنوب شرق بیرون چند، توده‌های بازالتی بر روی رسوب‌های کنگلومراپی و نهشت‌های شیلی- ماسه سنگی دگرگون شده رخمنون دارند. بافت سنگ پورفیری با زمینه ریزسنگی و گاهی بین‌دانه‌ای است. کانی‌های سازنده بازالت درشت بلورهای الیوین و زمینه ریزدانه شامل پیروکسن، پلاژیوکلاز و کانی کدر (مگنتیت) است. بر اساس نتایج تجزیه با ریزپردازشگر پرتو ایکس کانی الیوین و همچنین زمین‌شیمی سنگ کل و استفاده از شاخص FC3MS ($\text{FeO}/\text{CaO}-3*\text{MgO}/\text{SiO}_2$)، ماجمای سازنده بازالت HREE عناصر خاکی نادر نشان‌دهنده غنی‌شدگی LREE ها نسبت به HREE هاست که حضور گارنت در کانی‌شناسی خاستگاه را

انتظار این بوده است که بازالت‌های قلیایی سنجوزئیک شرق ایران متفاوت از سایر سنگ‌های آتشفشاری این منطقه و در ارتباط با کافت‌های قاره‌ای هستند، اما نتایج بررسی‌های آنها نیز نشان می‌دهد که این سنگ‌های بازالتی با وجود اینکه در نمودارهای نامگذاری بر پایه ترکیب شیمیایی عناصر اصلی، در قلمرو بازالت‌های قلیایی جای می‌گیرند، اما از نظر جایگاه زمین‌ساختی ماجمایی، همبستگی نزدیکی با سایر سنگ‌های آتشفشاری مناطق شرقی ایران دارند. از این رو، می‌توان گفت که به احتمال بسیار، رخدادهایی چون آلودگی پوسته‌ای ماجمای اولیه سبب شده تا این سنگ‌ها با وجود ماهیت قلیایی، برخی ویژگی‌های سنگ‌های وابسته به مناطق کمان را نشان دهند. البته شدت این دگرگونی‌ها به حدی نبوده که سبب از بین رفتن کامل ماهیت اولیه ماجمای (قلیایی) شده باشد. قاسمی و همکاران [۶۵، ۶۶] با بررسی گدازه‌های بازالتی الیگومن شرق و جنوب شرق شاهزاد و فعالیت ماجمایی کششی پشت کمانی در حوضه الیگومیوسن لبه شمالی ایران مرکزی که از نظر سنگنگاری شبیه بازالت‌های منطقه پدران هستند، به این نتیجه رسیده‌اند که ماجمای بازیک سازنده سنگ‌های مورد بررسی، به احتمال بسیار در یک حوضه کششی پشت کمانی در زمان الیگومن-میوسن تشکیل شده‌اند. به باور آنها، این حوضه‌های پشت کمانی مناطق کششی کوچکی هستند که در ارتباط با فرورانش سنگ اقیانوسی به زیر سنگ کره قاره‌ای، در پشت کمان ماجمایی اصلی نواحی فرورانش شکل می-

- [6] Blondes M. S., Brandon M. T., Reiners P. W., Page F. Z., Kita N. T., "Generation of forsteritic olivine ($Fo_{99.8}$) by subsolidus oxidation in basaltic flows", *Journal of Petrology* 53 (2012). 971-984.
- [7] Howarth G.H., Harris C., "Discriminating between pyroxenite and peridotite sources for continental flood basalts (CFB) in southern Africa using olivine chemistry", *Earth and Planetary Science Letters* 475(2017)143–151.
- [8] Cao G., Tong Y., Li X., Wang L., "Insights from olivine chemistry into crustal magmatic processes and the mantle source lithology of basalts from Hainan Island, China", *Lithos* 430-431(2022) 106852.
- [9] Oeser M., Ruprecht P., Stefan W., "Combined Fe-Mg chemical and isotopic zoning in olivine constraining magma mixing-to-eruption timescales for the continental arcvolcano Irazú (Costa Rica) and Cr diffusion in olivine", *American Mineralogist* 103 (4) (2018) 582–599.
- [10] Jung D., Keller J., Khorasani R., Marcks Chr., Baumann A., Horn P., "Petrology of the Tertiary magmatic activity the northern Lut area, East of Iran", Ministry of mines and metals, GSI, geodynamic project (geotraverse) in Iran, No. 51(1983) 285-336.
- [11] Pang K.N., Chung S.L., Zarrinkoub M.H., Khatib M.M., Mohammadi S.S., Chiu H. Y., Chu C.H., Lee H.Y., Lo, C.H., "Eocene– Oligocene post- collisional magmatism in the Lut– Sistan region, eastern Iran: Magma genesis and tectonic implications", *Lithos* 180-181(2013) 234- 251.
- [12] Ghorbani Q., "Petrogenetic investigation of Quaternary basalts in east of Iran (Khorasan)", M.Sc. thesis, Shahid Beheshti university, (1993) 250p.
- [13] Vosoughi Abedini M., "Petrologic and tectonomagmatic aspects of Cenozoic basalts in east of Iran (Khorasan)", *Geosciences* 6(23-24) (1997) 16-31.
- [14] Taghribi M., "Neogene-Quaternary volcanism in east of Iran (Birjand-Moud-Sarbiskeh area)", M.Sc. thesis, Shahid Bahonar university of Kerman, (1997) 150p.
- [15] Yari F., "Petrology and geochemistry of volcanic rocks of Fanood area (southeast of Birjand) east of Iran". M.Sc. thesis, university of Birjand (2011) 113p.
- [16] Parsaei M., "The study of geology, alteration and petrology of igneous rocks in east of Moud (southeast of Birjand)". M.Sc. thesis, university of Birjand, (2012) 115p.

تأثیر می‌نماید. ویژگی‌های زمین‌شیمیایی چون مقدار TiO_2 پایین (۱۱-۱۶٪ درصد وزنی)، مقدار بالای MgO (۶۸-۶۲٪ درصد وزنی)، $Mg\#$ (۰.۰۳-۰.۵۲) و همچنین مقدار به نسبت بالای (۰.۲۳-۰.۲۶ ppm) Ni و (۰.۴۶-۰.۴۷ ppm) Cr در بازالت‌های پدران نشان می‌دهد که ماقماً سازنده آن‌ها از گوشته بالایی شکل گرفته و به صورت جدایش نیافته یا کمی جدایش یافته، در یک جایگاه همگرا فوران نموده است. نسبت‌های عناصر نادر مختلف چون La/U , Nb/U , Nb/La و Th/U که به آلایش پوسته‌ای حساس هستند، نقش آلودگی پوسته‌ای طی تکامل ماقما را نشان می‌دهند. به طور کلی، بر پایه نتایج این پژوهش و همچنین بررسی‌های پیشین درباره بازالت‌های شرق ایران، می‌توان گفت که به احتمال بسیار، رخدادهایی چون آلودگی پوسته‌ای ماقماً اولیه، سبب شده است تا این سنگ‌ها با وجود ماهیت قلیایی، برخی ویژگی‌های سنگ‌های وابسته به مناطق کمان را نشان دهند.

قدرتانی

نویسنده‌گان مقاله، مراتب تشکر و قدردانی خود را از شبکه آزمایشگاهی فناوری‌های راهبردی برای تامین بخشی از هزینه آنالیزهای انجام شده در این پژوهش، ابراز می‌دارند.

مراجع

- [1] Herzberg C., "Identification of source lithology in the Hawaiian and Canary islands: implication for origins", *Journal of Petrology* 52.1 (2011) 113-146.
- [2] Yang Z.F., and Zhou J.H., "Can we identify source lithology of basalt?", *Scientific Reports* 3.1 (2013) 1856.
- [3] Yang Z.F., Li J., Liang W.F., Luo Z.H., "On the chemical markers of pyroxenite contributions in continental basalts in eastern China: implication for source lithology and the origin of basalts", *Earth-Science Reviews* 157 (2016): 18-31.
- [4] Yang Z., Lai S.C., Qin J.F., Zhu R.Z., Liu M., Zhang F.Y., Yang H., Zhu Y., "Petrogenesis of Early Cretaceous alkaline basalts in the West Qinling: Constraints from olivine chemistry", *Geological Journal* 58.2 (2023) 780-794.
- [5] Hu, Q.W., Mei, S.W., Zhang, L. and Ren, Z.Y., "Mantle source heterogeneity for Hainan basalts revealed by Pb and Sr isotopic compositions in olivine-hosted melt inclusions", *Lithos* 438 (2023) 106991.

- closure in the Balkans", Terra Nova 29(2017) 145-153.*
- [30] Wilson M., "Igneous Petrogenesis", Springer Verlag, London (2007) 466 pp.
- [31] Kuscu G.G., Geneli F., "Review of post-collisional volcanism in the central Anatolian volcanic province (Turkey), with special reference to the Tepekoval volcanic complex", International Journal of Earth Sciences 99(2010)593-621.
- [32] Kampunzo A. B., Tombale A. R., Zhai M., Bagai Z., Majaule T., Modisi M. P., "Major and trace element geochemistry of plutonic rocks from Francistown, NE Botswana: evidence for a Neoarchaean continental active margin in the Zimbabwe craton", Lithos, 71(2-4) (2003) 431-460.
- [33] Sobolev A.V., Hofmann A.W., Kuzmin D.V., Yaxley G.M., Arndt N.T., Chung S.L., Danyushevsky L.V., Elliott T., Frey F.A., Garcia M.O., Gurenko A.A., Kamenetsky V.S., Kerr A.C., Krivolutskaya N.A., Matvienkov V.V., Nikogosian I.K., Rocholl A., Sigurdsson I.A., Sushchevskaya N.M., Teklay M., "The amount of recycled crust in sources of mantle-derived melts" Science 316(2007)412-417.
- [34] Gleeson M.L.M., Gibson S.A., "Crustal controls on apparent mantle pyroxenite signals in ocean-island basalts", Geology 47 (4) (2019) 321-324.
- [35] Rasmussen M.B., Halldórsson S.A., Gibson S.A., Guðfinnsson G.H., "Olivine chemistry reveals compositional source heterogeneities within a tilted mantle plume beneath Iceland", Earth and Planetary Science Letters 531(2020).
- [36] Matzen A.K., Baker M.B., Beckett J.R., Stolper E.M., "The temperature and pressure dependence of nickel partitioning between olivine and silicate melt", Journal of Petrology 54 (12) (2013) 2521-2545.
- [36] Humayun M., Qin L., Norman M. D., "Geochemical evidence for excess iron in the mantle beneath Hawaii", Science 306(5693) (2004) 91-94.
- [38] Liu Z., Shea J.J., Foley S.F., Bussweiler Y., Rohrbach A., Klemme S., Berndt J., "Clarifying source assemblages and metasomatic agents for basaltic rocks in eastern Australia using olivine phenocryst compositions", Lithos 390-391(2021) 106122.
- [39] Kim S., Choi S.H., "Geochemical studies on the mantle source lithologies of late Cenozoic alkali basalts from Baengnyeong, Pyeongtaek, and Sarbisheh, scale 1:100000", Geological survey of Iran(1999).
- [17] Nazari H., Salamati R., "Geological map of Birjand, scale 1:250000", Geological survey of Iran (1991).
- [18] Eftekhar nezhad J., Stocklin J., "Geological map of Birjand, scale 1:250000", Geological survey of Iran (1991).
- [19] Deer W.A., Howie R.A., Zussman J., "An introduction to the rock forming minerals", Longman Scientific and Technical. Hong Kong (1991) 528pp.
- [20] Hall A., "Igneous petrology", Longman, Newyork (1996)551pp.
- [21] Gunnlaugsson H.P., Helgason, O., Kristansson L., Nornberg P., Rasmussen H., Steinporsson S., Weyer G., "Magnetic properties of olivine basalt: Application to Mars", Physics of the Earth and Planetary Interiors, 154(3) (2006) 276-289
- [22] Whitney D., Evans B.D., "Abbreviations for names of rock-forming minerals", American Mineralogist 95(2010)185-187.
- [23] Wager L.R., Deer W.A., "The petrology of the Skaergaard intrusion, Kangerdlugssuaq, East Greenland", Meddelelser om Gronland 105(4) (1939) 1-352
- [24] Cox K.G., Bell J.D., Pankhurst R.J., "The interpretation of igneous rocks", Allen and Unwin, London (1979) 450p
- [25] Le Bas M.J., Le Maitre R.W., Streckeisen A., Zanettin B., "A chemical classification of volcanic rocks based on the total alkali-Silica diagram", Journal of Petrology 27(3) (1986) 745-750.
- [26] Christoph B., Karsten M.H., Philipp A.B., Stefan H.K., "Primitive andesites from the Taupo Volcanic Zone formed by magma mixing". Contributions to Mineralogy and Petrology 172 (2017) 33.
- [27] Sun S.S., McDonough W.F., "Chemical and isotopic systematic of ocean basalts: implications for mantle composition and process". In: A.D. Saunders and M.J. Norry (Editors), Magmatism in the Ocean Basins. Geological Society London Special Publications 42(1) (1989)313-345.
- [28] Boynton W.V., "Cosmochemistry of rare earth elements: meteorite studies". In: P. Henderson (Editor), Rare Earth Element Geochemistry, Elsevier, Amsterdam (1984) 63-114.
- [29] Prelevic D., Wehrheim S., Reutter M., Romer R. L., Boev B., Bozovic M., van den Bogaard P., Cvetkovic V., Schmid S. M., "The late cretaceous Klepa basalts in Macedonia (FYROM) constraints on the final stage of Tethys

- geological significance", Acta Petrologica Sinica* 28(2012)1130–1138.
- [51] Ellam R.M., "Lithospheric thickness as a control on basalt geochemistry" *Geology* 20(2) (1992)153–156.
- [52] Ross P.-S., Bedard J.H., "Magmatic affinity of modern and ancient subalkaline volcanic rocks determined from trace-element discriminant diagrams", *Canadian Journal of Earth Sciences* 46(2009)823–839.
- [53] Pearce J.A., "Immobile elements fingerprinting of ophiolites", *Elements* 10(2) (2014)101–108.
- [54] Li C.S., Arndt N.T., Tang Q.Y., Ripley E.M., "Trace element indiscrimination diagrams", *Lithos* 232(2015)75–83.
- [55] Saccani E., "A new method of discriminating different types of post-Archean ophiolitic basalts and their tectonic significance using Th-Nb and Ce-Dy-Yb systematics", *Geoscience Frontiers* 6(4) (2015) 481–501.
- [56] Xia L., a Li, X., "Basalt geochemistry as a diagnostic indicator of tectonic setting", *Gondwana Research* 65(2019)43–67.
- [57] Pearce J.A., Cann J.R., "Tectonic setting of basic volcanic rocks determined using trace element analyses", *Earth and Planetary Science Letters* 19 (2) (1973)290–300.
- [58] Wang P., Glover III L., "A tectonics test of the most commonly used geochemical discriminant diagrams and patterns", *Earth-Science Reviews* 33(2) (1992)111–131.
- [59] Xia L.Q., "The geochemical criteria to distinguish continental basalts from arc related ones", *Earth-Science Reviews* 139(2014)195–212.
- [60] Condé K.C., O'Neill C., "The Archean–Proterozoic boundary: 500 my of tec-tonic transition in Earth history", *American Journal of Science* 310(9) (2010)775-790.
- [61] He J., Zhang Y., Wang Y., Qian X., Sun L., "Late Paleozoic post-collisional setting of the North Tianshan, NWChina: New insights from geochronology, geochemistry and Sr–Nd isotopic compositions of the Permian Nileke volcanic rocks", *Lithos* 318–319 (2018) 314–325.
- [62] Teng F. Z., McDonough W. F., Rudnick R. L., Dalpé C., Tomascak P. B., Chappell B. W., Gao S., "Lithium isotopic composition and concentration of the upper continental crust", *Geochimica et Cosmochimica Acta* 68(2004) 4167-4178.
- [63] Rudnick R. L., Gao S., "Composition of the continental crust", Treatise on geochemistry4. In: Reference Module in Earth Systems and Asan in the Korean Peninsula", *Lithos* 404–405(2021) 106434.
- [40] Dai L. Q., Zhao Z.F., Zheng, Y.F., "Geochemical insights into the role of metasomatic hornblendite in generating alkali basalts", *Geochemistry, Geophysics, Geosystems* 15 (2014)3762–3779.
- [41] Lambert S., stolper E., Baker M., "The role of pyroxenite in basalt genesis: Melt-px, a melting parameterization for mantle pyroxenite between 0.9 and 5gpa", *Journal of Geophysical Research. Solid Earth* 121(2016) (80: 5708-5735.
- [42] Liu J.Q., Ren Z.Y., "Diversity of source lithology and its identification for basalts; A case study of the Hainan basalts", *Geotectonica et Metallogenica* 37(3) (2013) 18 (in Chinese with English abstract).
- [43] Zindler A., Hart S., "Chemical geodynamics", *Annual Review of Earth and Planetary Sciences* 14(1986)493–571.
- [44] Sobolev A.V., Hofmann A.W., Nikogosian I.K., "Recycled oceanic crust observed in 'ghost plagioclase' within the source of Mauna Loa lavas" *Nature* 404(2000)986–990.
- [45] Altunkaynak Ş., Ünal A., Howarth G.H., Aldanmaz E., Nývt D., "The origin of low-Ca olivine from ultramafic xenoliths and host basaltic lavas in a back-arc setting, James Ross Island, Antarctic Peninsula" *Lithos* 342–343(2019)276–287.
- [46] An A.R., Choi S.C., Yu Y., Le D.C., "petrogenesis of Late Cenozoic basaltic rocks from southern Vietnam", *Lithos* 272–273(2017)192-204.
- [47] Pertermann M., Hirschmann M.M., Hametner K., Günther D., "Experimental determination of trace element partitioning between garnet and silica-rich liquid during anhydrous partial melting of MORB-like eclogite", *Geochemistry, Geophysics, Gyosystems* (2004) 5.
- [48] Smith E.I., Sánchez A., Walker J.D., Wang K., "Geochemistry of mafic magmas in the Hurricane Volcanic field, Utah: implications for small- and large-scale chemical variability of the lithospheric mantle", *Journal of Geology* 107(1999)433–448.
- [49] Aydin F., Karsli O., Chen B., "Petrogenesis of the Neogene alkaline volcanics with implications for post-collisional lithospheric thinning of the Eastern Pontides, NE Turkey", *Lithos* 104 (2008) 249–266
- [50] Sui J., Fan Q., Xu Y., "Discovery of peridotite xenoliths from the Nuomin river Quaternary volcanic field, the Great Xing'an Range, and its

*magmatism in the Oligo-Miocene basin of the Northern edge of Central Iran", Scientific Quarterly Journal, Geosciences*25(99)(2016)239-252.

[67] Ramos V. A., Kay S. M., "Overview of the tectonic evolution of the southern Central Andes of Mendoza and Neuquén (35°-39°S latitude). In: Kay, S. M. and Ramos, V. A. (Eds.): Evolution of an Andean margin: a tectonic and magmatic view from the Andes to the Neuquén basin (35°-39°S Lat)", Geological Society of America, Special Paper 407(2006)1-17.

Environmental Sciences(Ed. Elias, S.A.) 2nd edition, (2014) 1-51. Elsevier, Amsterdam.

[64] Khorasani R., "Petrographie und geochemie spatkretazisch-alttertiärer laven und subvulcanite der nordlichen Lut ost-Iran", (1982) Dissertation, Universitat Hamburg.

[65] Ghasemi H., Barahmand M., Sadeghian M., "The Oligocene basaltic lavas of east and southeast of Shahroud: Implication for back-arc basin setting of Central Iran Oligo-Miocene basin", Petrology 2(7)(2011) 77-94.

[66] Ghasemi H., Rostami Hossuri M., Ssadeghian M., Kadkhodaye Arab F., "Back-arc extensional